

**INSTITUT GÉOPHYSIQUE
DE L'ACADÉMIE POLONAISE DES SCIENCES**



BULLETIN SÉISMOLOGIQUE

JANVIER FÉVRIER MARS

1971

The Institute of Geophysics of the Polish Academy of Sciences wishes to announce that the "Bulletin Séismologique Préliminaire" for the years 1968 (Materiały i Prace Instytutu Geofizyki Polskiej Akademii Nauk, Publications of the Institute of Geophysics Polish Academy of Sciences, vol. 61) 1969 (vol. 40) and 1970 (vol. 45) should be treated as a final elaboration which will be supplemented later on by additional issues containing only the annual data on Upper Silesian earthquakes and the characteristics of the apparatus used. The complete set of issues for each year will appear under one cover.

The "Bulletin Séismologique Préliminaire" will cease publication at the end of 1970. Starting with 1971, data on distant earthquakes are given only in quarterly bulletins, while those on the Upper Silesian earthquakes will be given in annual bulletins. All elaborations for each year will be published in bound volumes.

WARSZAWA

Redaktor Naczelny
Roman TEISSEYRE

Adres Redakcji
Instytut Geofizyki Polskiej Akademii Nauk
Warszawa, ul. Pasteura 3

Sekretarz Redakcji
Wacław KOWALSKI

Printed in Poland

Państwowe Wydawnictwo Naukowe
Oddział w Łodzi 1972

Wydanie I. Nakład 300+55 egz. Ark. wyd. 5,00. Ark. druk. 4,00.
Papier druk. sat. kl. III, 80 g. 70x100. Podpisano do druku 29 I. 1972 r.
Druk ukończono w lutym 1972 r. Zam. nr 42.

Zakład Graficzny Wydawnictw Naukowych
Łódź, ul. Gdańska 162

INTRODUCTION

La présente élaboration trimestrielle des résultats d'enregistrement des observatoires séismologiques de l'Institut de Géophysique de l'Académie Polonaise des Sciences constitue la suite des élaborations annuelles paraissant dans le cadre des "Publications of the Institute of Geophysics Polish Academy of Sciences". La publication du "Bulletin Séismologique Préliminaire" a été interrompue à partir de 1971.

Cette publication contient une élaboration des tremblements de terre distants, ainsi que des secousses locales dont les épicentres sont situés en dehors de la région de la Haute Silésie. Un relevé des secousses les plus fortes provenant du territoire de la Haute Silésie en 1971 sera présenté séparément dans un cahier du même volume. L'identification des secousses distantes s'appuie sur les données fournies par les centres séismologiques de BCIS, USCGS, ISC et Moskva. Les distances épicentrales Δ sont calculées d'après les coordonnées géocentriques avec une exactitude de $\pm 0,01^\circ$. Les valeurs des magnitudes des secousses dont les distances épicentrales sont $\geq 5^\circ$ ont été établies à base des ondes volumétriques /m/ et des ondes superficielles /M/.

CONSTANTES DES SÉISMOGRAPHES

Station	Type seismo-graph	Comp.	Ts sec	Tg sec	Ds	Dg	δ^2	Vo	Vm	Tm sec	Période de validité
Warszawa (WAR) $\varphi = 52^{\circ} 14' 30''$ N $\lambda = 21^{\circ} 01' 25''$ E h=110 m	GW	N-S	10,1	11,7	0,80	1,00	0,075	1410	1434	6,5-10-5	I - III
		E-W	9,80	11,3	1,01	1,00	0,077	1675	1030	4,0-9,7	
		Z	8,65	11,2	0,54	1,00	0,057	1130	1110	5,6-8,0	
	SKD	N-S	25	80,0	1,0	0,5	0,131	750	646	13-32	I - III
		E-W	25	83,2	1,0	0,5	0,121	750	634	13-32	
		Z	25	83,8	1,0	0,5	0,134	730	612	13,5-30	
Kraków (KRA) $\varphi = 50^{\circ} 03' 22''$ N $\lambda = 19^{\circ} 56' 23''$ E h=223 m	GW	N-S	9,7	1,01	0,487	5,0	0,1	1475	1585	0,3-8	I - III
		E-W	11,1	1,00	0,472	5,0	0,1	1475	1530	0,3-8,5	
		Z	10,5	1,01	0,475	5,0	0,1	2200	2340	0,3-8	
	Ch	N-S	1,27	0,281	0,50	2,0	0,132	10500	11200	0,15-1,05	I - III
		E-W	1,27	0,280	0,50	2,0	0,139	10500	11200	0,15-1,05	
		Z	1,27	0,282	0,50	2,0	0,155	10500	11570	0,15-1,05	
	SKD	N-S	25,0	83,5	1,00	0,50	0,147	748	804	17-55	I - III
		E-W	25,0	83,3	1,00	0,50	0,166	743	802	17-55	
		Z	25,0	91,5	1,00	0,50	0,204	759	812	17-59	
	SKM-3	N-S	1,28	0,580	0,50	0,49	0,0129	21670	23860	0,47-0,78	I - III
		E-W	1,30	0,575	0,50	0,47	0,0124	21440	23490	0,48-0,77	
		Z	1,45	0,580	0,60	0,49	0,0137	24840	25790	0,47-0,75	
Raciórz (RAC) $\varphi = 50^{\circ} 05' 00''$ N $\lambda = 18^{\circ} 11' 39''$ E h=209 m	M	N-S	6,0	-	0,182	-	-	159	436	5,1-6,4	I - III
		E-W	6,0	-	0,212	-	-	165	393	5,0-6,4	
		Z	2,0	-	0,191	-	-	144	384	1,7-2,1	
	SK-58	N-S	1,175	1,00	0,610	0,5	0,0114	3000	2897	0,75-1,1	I - III
		E-W	1,176	1,00	0,50	0,5	0,0153	3000	3422	0,77-1,14	
		Z	1,111	1,05	0,50	0,5	0,0146	3000	3299	0,78-1,13	

Station	Type seismo-graph	Comp.	Ts sec	Tg sec	Ds	Dg	σ^2	Vo	Vm	Tm sec	Période de validité
Niedzica (NIE) $\varphi = 49^{\circ} 25' 25'' \text{N}$ $\lambda = 20^{\circ} 19' 19'' \text{E}$ h = 555 m	SK-58	N-S	1,823	0,366	3,63	4,5	0,813	39500	44450	0,56-0,91	I - III
		E-W	2,010	0,312	3,44	4,07	0,904	37800	66780	0,68-0,88	
		Z	1,771	0,426	2,34	4,85	0,950	40480	128000	0,99-1,16	
Książ (KSP) $\varphi = 50^{\circ} 50,6' \text{N}$ $\lambda = 16^{\circ} 17,6' \text{E}$ h = 380 m	SU-59	N-S	1,22	0,238	0,52	1,52	0,142	103000	106000	0,14-0,67	I - III
		E-W	1,22	0,277	0,51	1,50	0,091	102000	108000	0,16-0,75	
		Z	1,024	0,204	0,52	1,53	0,174	100000	105000	0,13-0,57	

S y m b o l e s

Ts - période du pendule

Tg - période du galvanomètre

Ds - amortissement du pendule

Dg - amortissement du galvanomètre

σ^2 - coefficient du couplage

Vo - amplification statique
$$V_o = \frac{2A}{10} \sqrt{\frac{K_s}{K_g}} \sqrt{\frac{D_s}{D_g}} \sqrt{\frac{T_g}{T_s}} \sigma^2$$

Vo - amplification statique

Vm - valeur de l'amplification maximale de l'appareil séismique
$$V_m = \frac{2A}{10} \sqrt{\frac{K_s}{K_g}} \sqrt{\frac{D_g}{D_s}} \sqrt{\frac{T_s}{T_g}} \sigma^2$$

Tm - intervalle des périodes pour lesquelles l'amplification est supérieure ou égale à 0,9 Vm

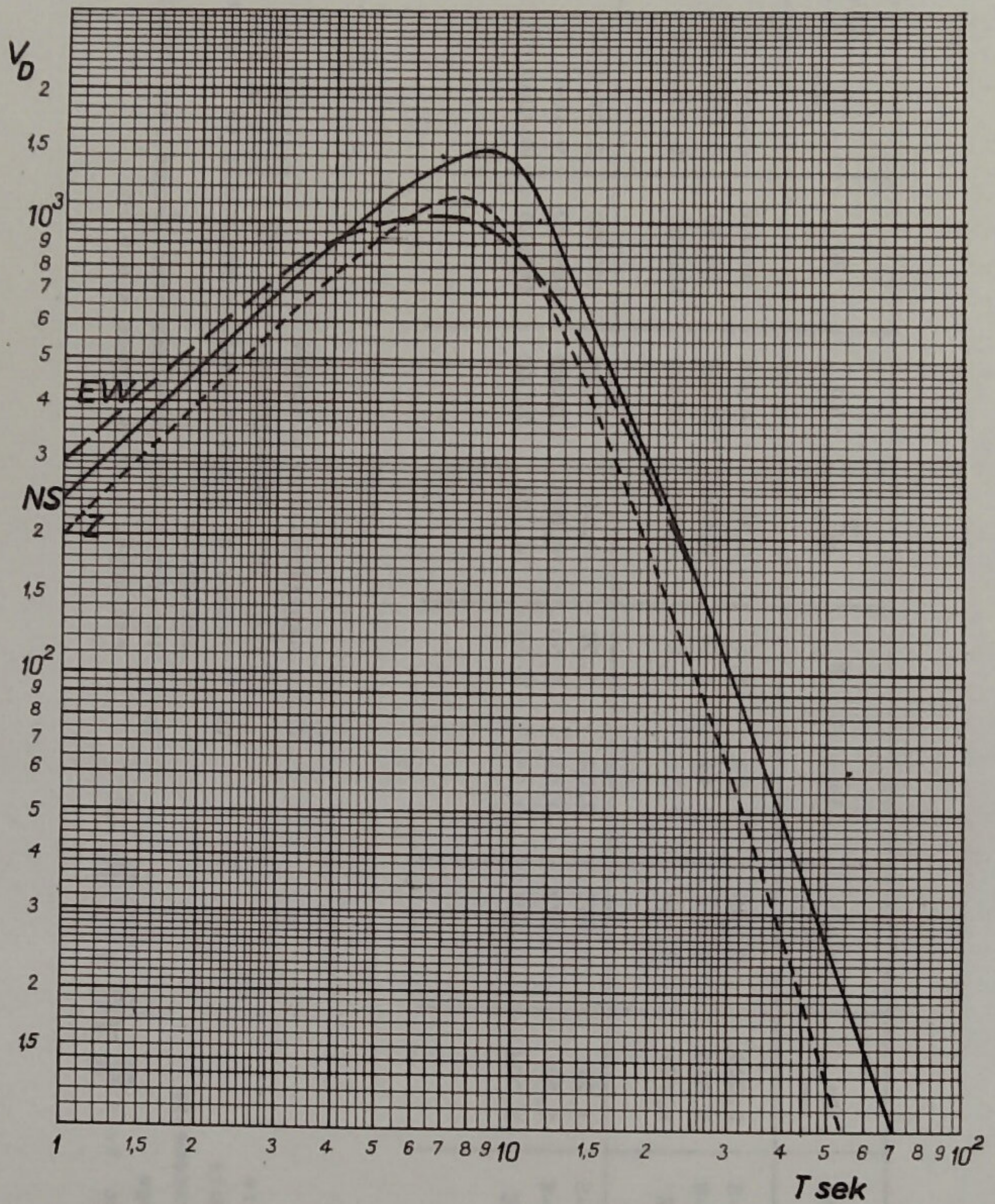


Fig. 1. L'amplification dynamique des séismographes Galitzine-Wilip à Warszawa

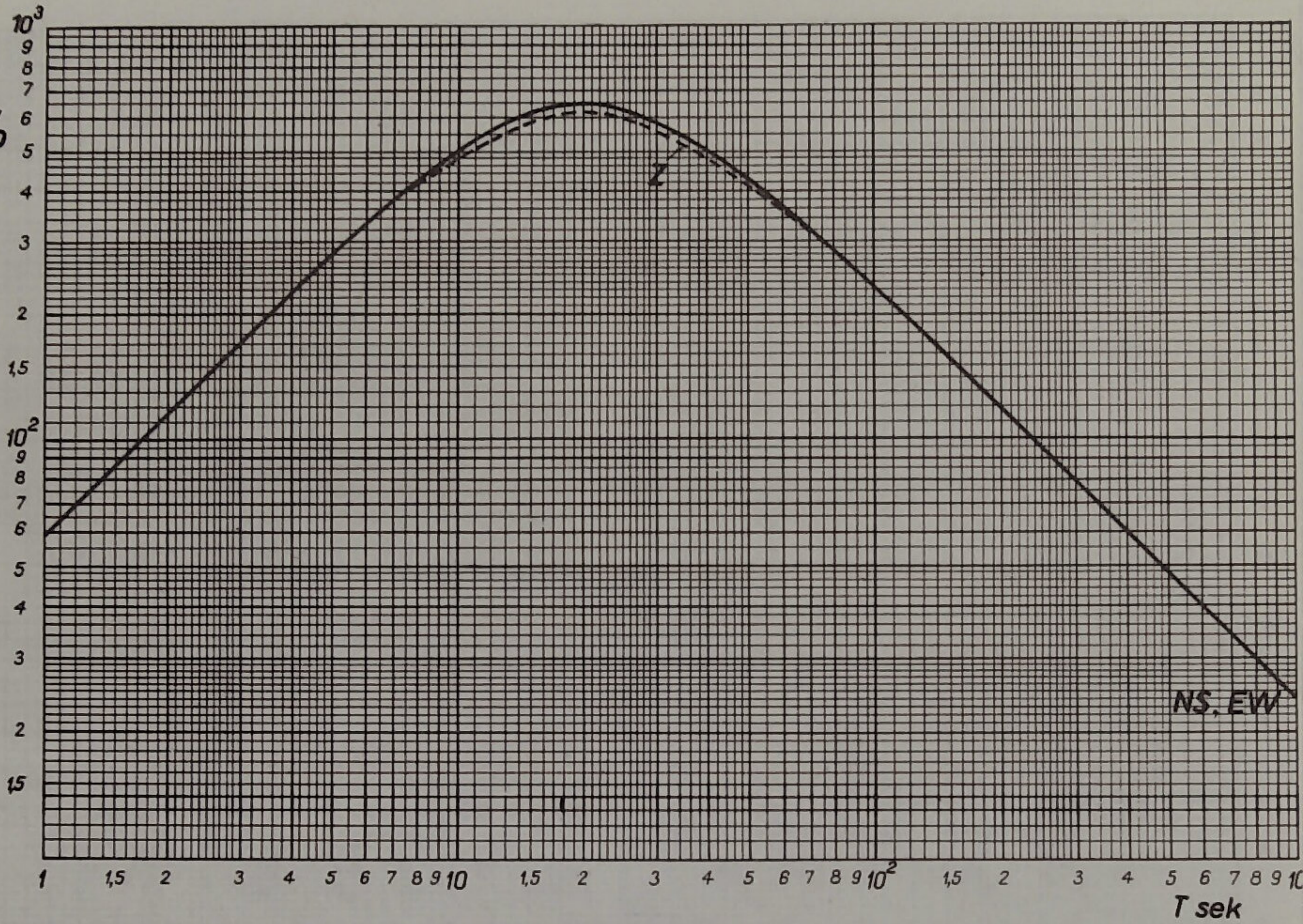


Fig. 2. L'amplification dynamique des séismographes type SKD à Warszawa

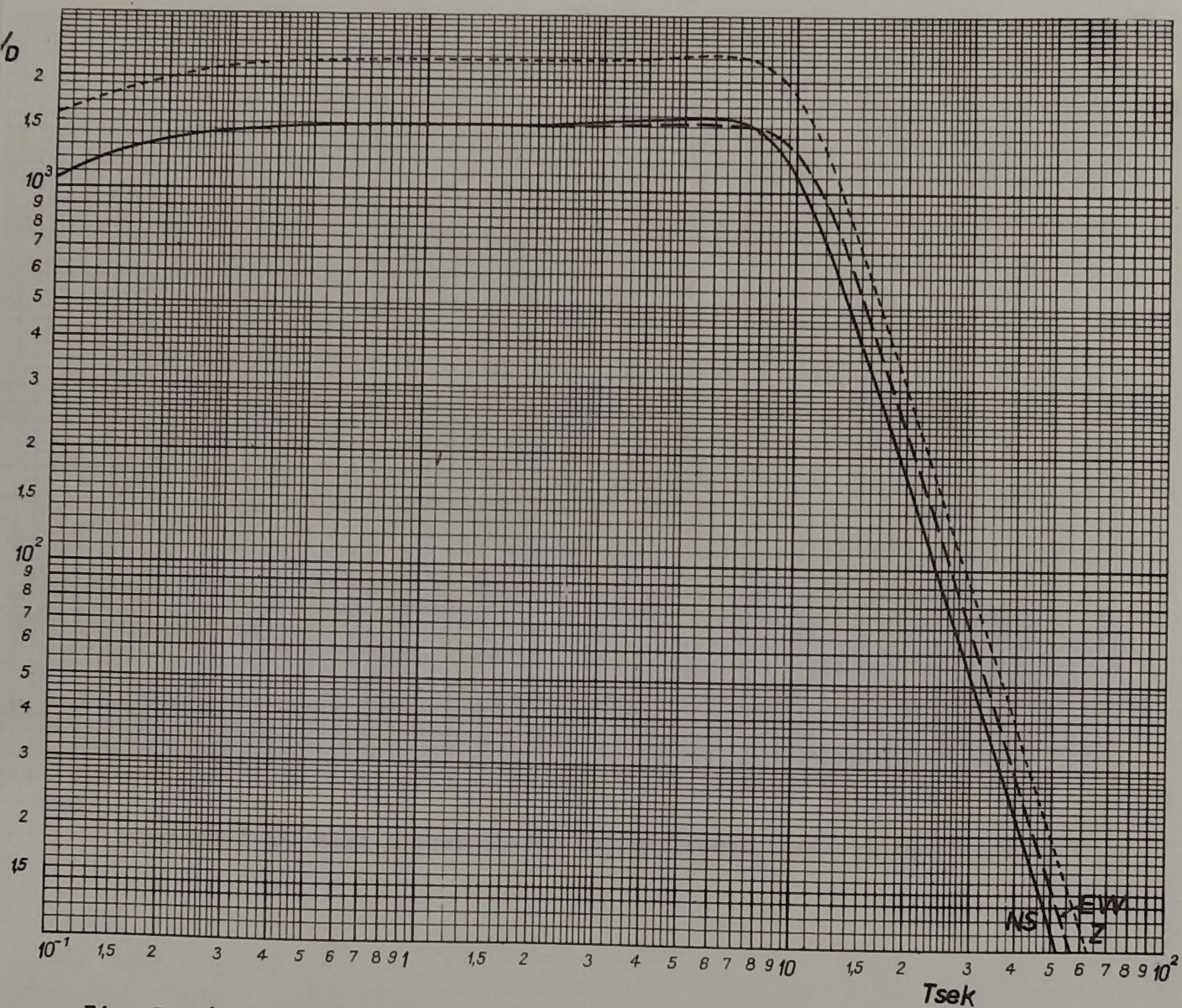


Fig. 3. L'amplification dynamique des sismographes Galitzine-Wilip à Kraków

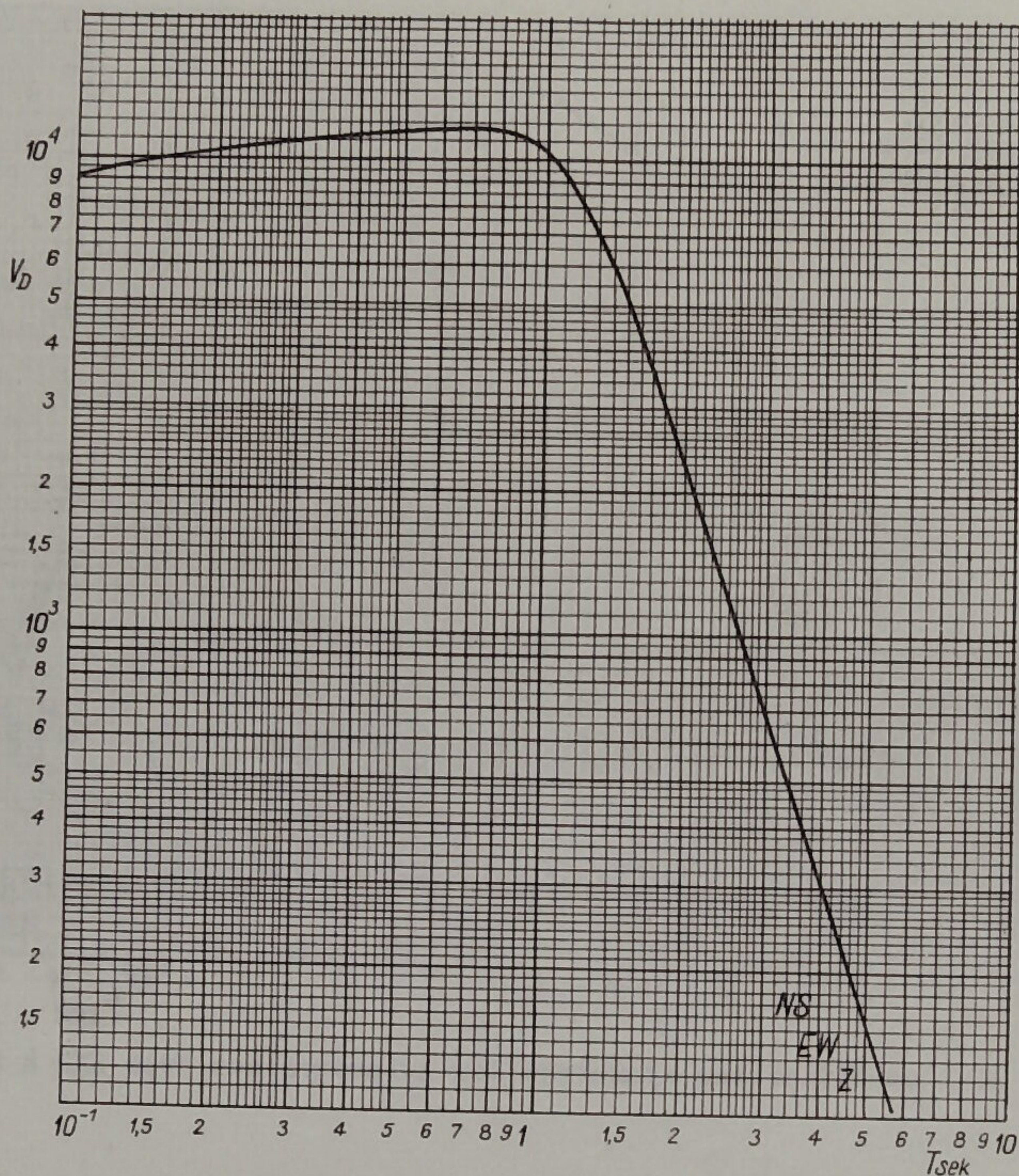


Fig. 4. L'amplification dynamique des séismographes Charin à Kraków

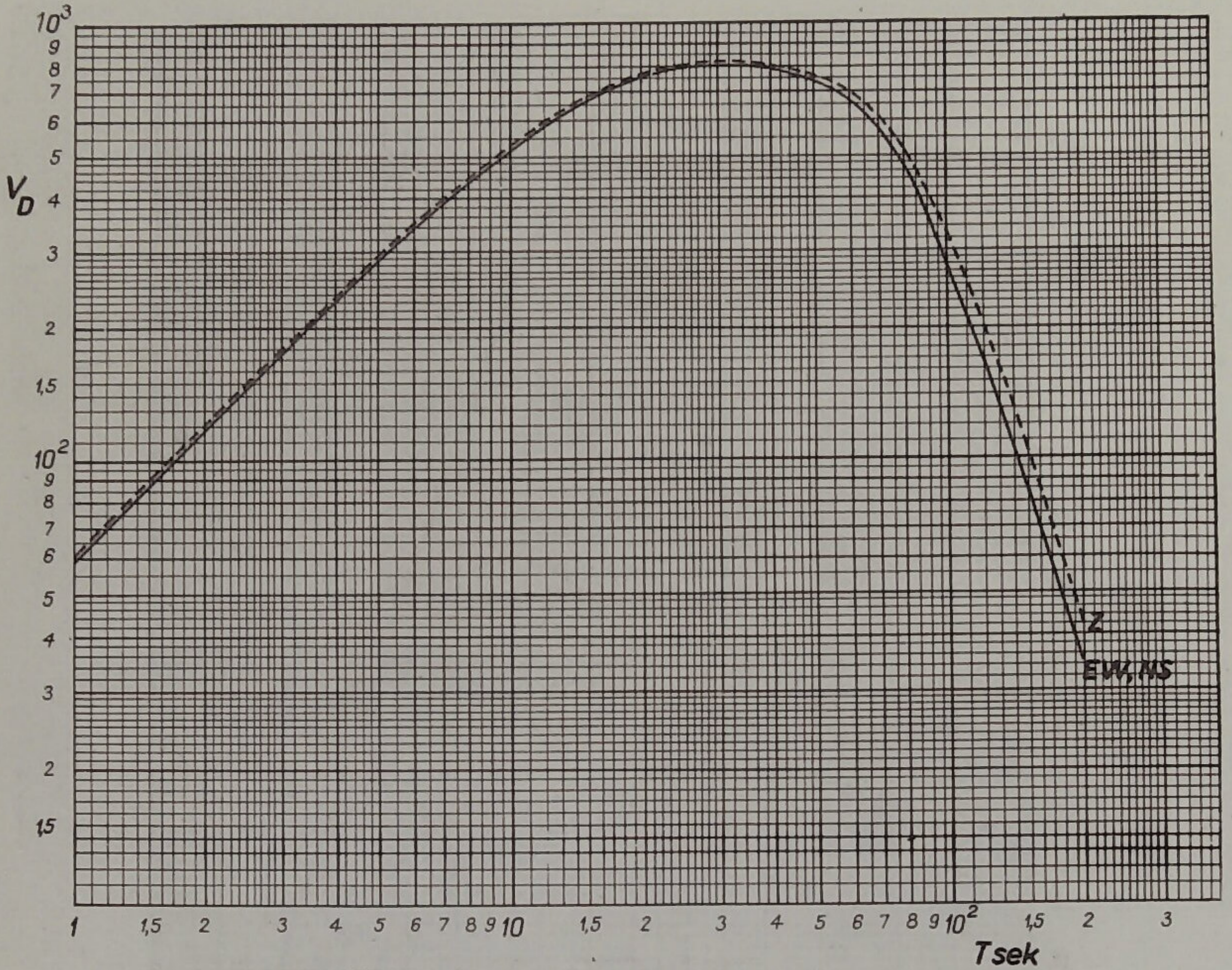


Fig. 5. L'amplification dynamique des séismographes type SKD à Kraków

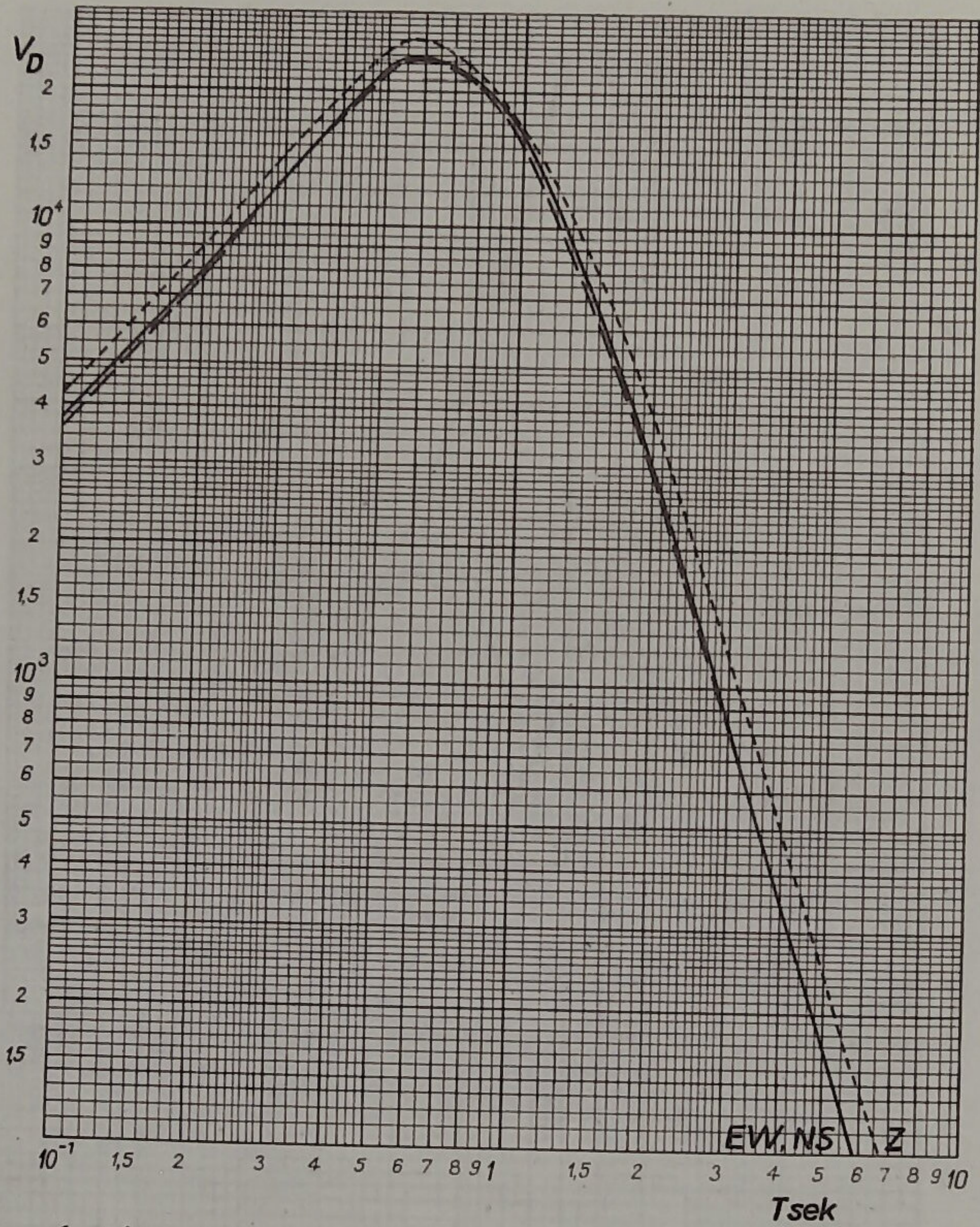


Fig. 6. L'amplification dynamique des séismographes type SKM-3 à Kraków

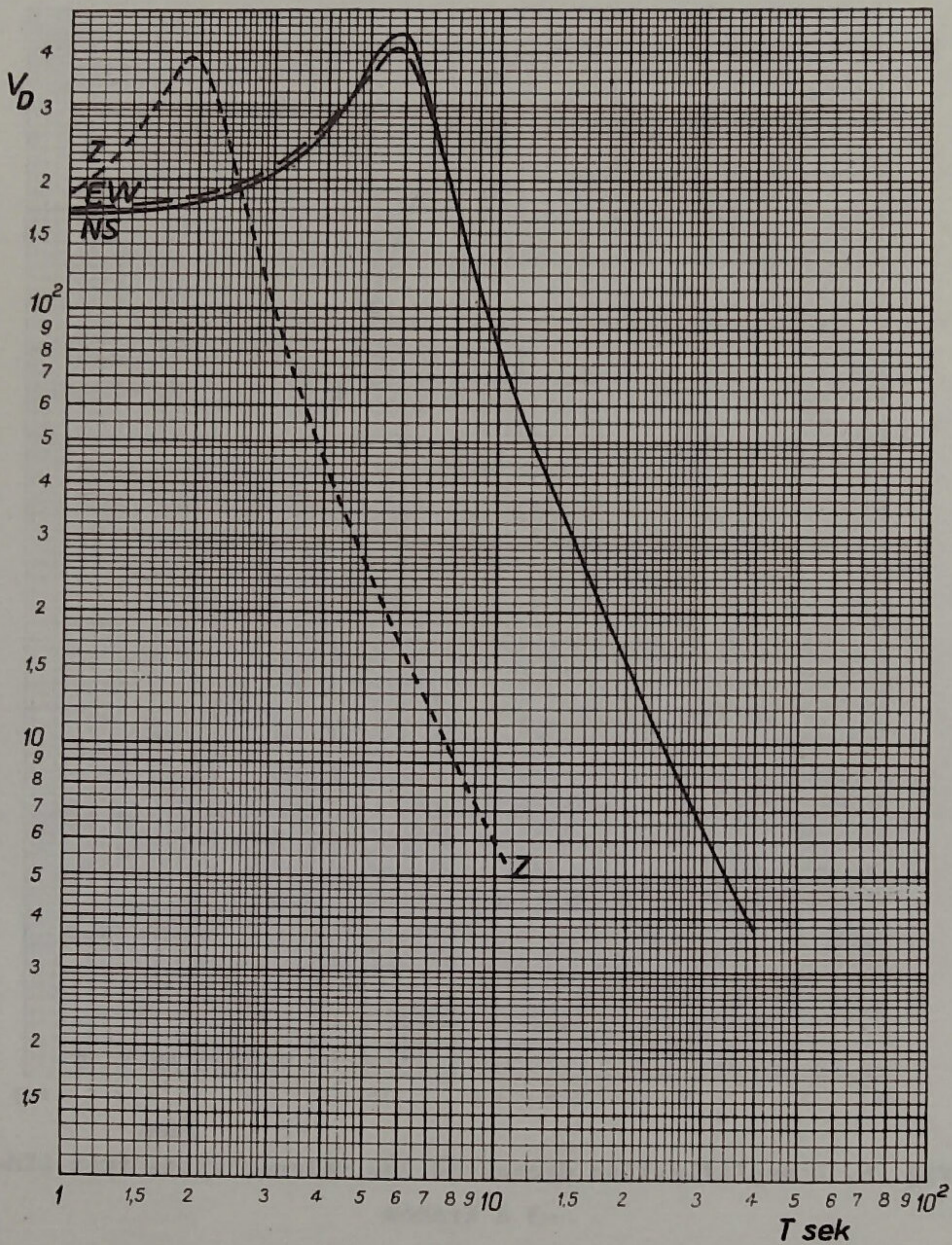


Fig. 7. L'amplification dynamique des séismographes Mainka à Racibórz

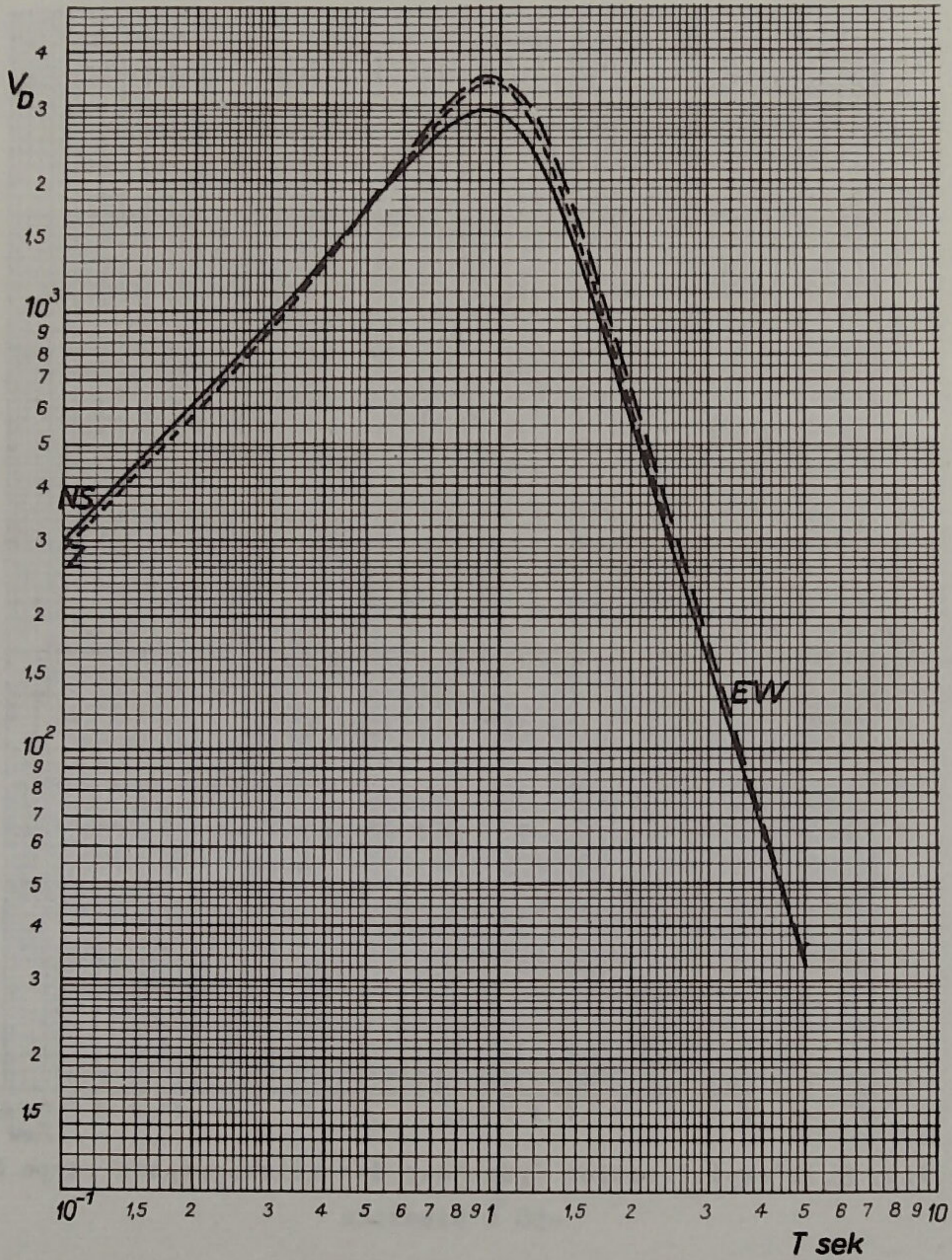


Fig. 8. L'amplification dynamique des séismographes type SK-58 à Racibórz

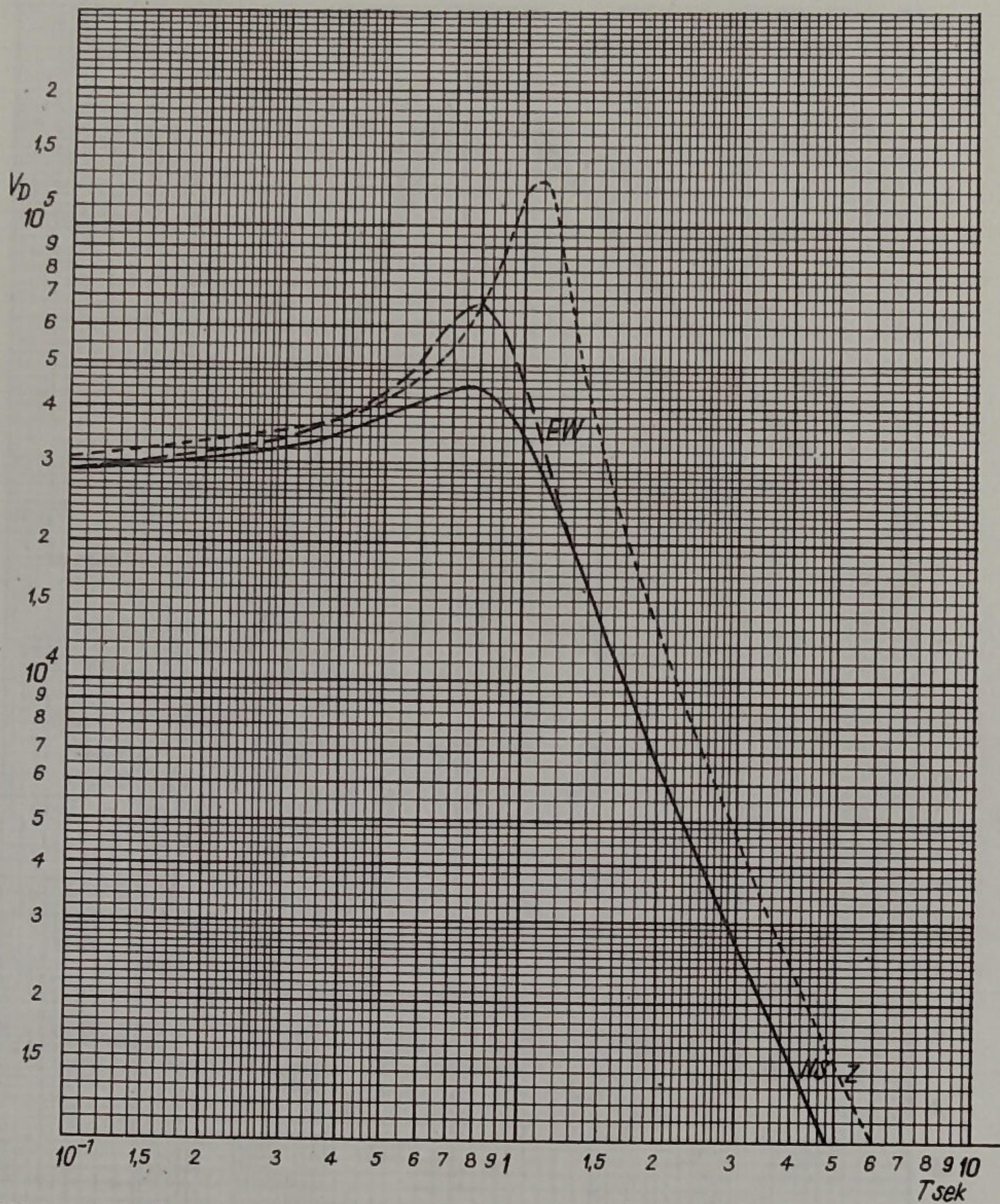


Fig. 9. L'amplification dynamique des séismographes type SK-58 à Niedzica

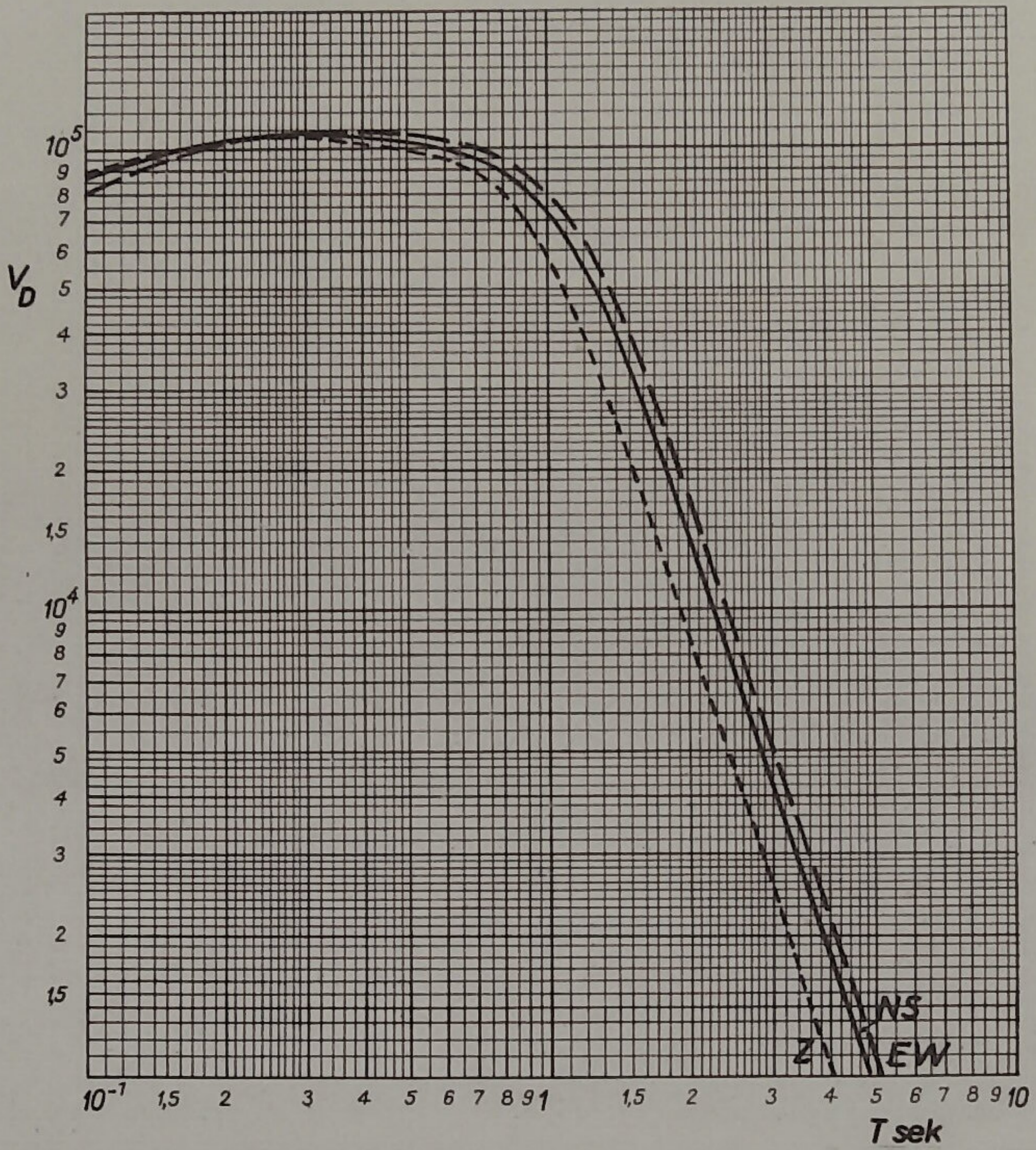


Fig. 10. L'amplification dynamique des séismographes type SU-59 à Książ

RÉSULTATS DES ENREGISTREMENTS

Station	Time	Amplitude	Phase	Remarks
1	1963-01-01 00:00	0.1	0	Background noise
2	1963-01-01 00:05	0.2	45	Small seismic event
3	1963-01-01 00:10	0.3	90	Seismic activity
4	1963-01-01 00:15	0.4	135	Continued recording
5	1963-01-01 00:20	0.5	180	Peak amplitude
6	1963-01-01 00:25	0.4	225	Decaying signal
7	1963-01-01 00:30	0.3	270	End of event
8	1963-01-01 00:35	0.2	315	Return to baseline
9	1963-01-01 00:40	0.1	0	Stable background
10	1963-01-01 00:45	0.2	45	Minor fluctuations
11	1963-01-01 00:50	0.3	90	Low level activity
12	1963-01-01 00:55	0.4	135	Small peak
13	1963-01-01 01:00	0.5	180	Another event
14	1963-01-01 01:05	0.4	225	Signal fading
15	1963-01-01 01:10	0.3	270	End of second event
16	1963-01-01 01:15	0.2	315	Baseline recovery
17	1963-01-01 01:20	0.1	0	Stable recording
18	1963-01-01 01:25	0.2	45	Minor noise
19	1963-01-01 01:30	0.3	90	Low amplitude
20	1963-01-01 01:35	0.4	135	Small disturbance
21	1963-01-01 01:40	0.5	180	Peak again
22	1963-01-01 01:45	0.4	225	Signal end
23	1963-01-01 01:50	0.3	270	Return to noise
24	1963-01-01 01:55	0.2	315	Stable level
25	1963-01-01 02:00	0.1	0	End of recording

Date	Station	Phase	G.M.T. h m s	Date	Station	Phase	G.M.T. h m s
1971				JANVIER			1971
1.I	KRA /SKM/	Région de l'Alaska, USCGS: 59,6°N, 144,6°W, H=04 ^h 45 ^m 29,0 ^s , h=16 km; mb=5,2 /USCGS/, mPV= 5,4 /Kraków/, 4,8 /Niedzica/ Δ=70,2°	04 56 41,5 C	2.I	NIE	eP e	05 20 17,3 D 28,3
	NIE	Δ=70,9° 1P Z: 1,3 ^s ; 0,036 μ	04 56 46,1 C	2.I	NIE	Sud des Iles Fidji, USCGS: 26,6°S, 177,1°W, H=13 ^h 03 ^m 02,2 ^s , h=179 km Δ=153,7°. Traces ePKP ₁ ePKP ₂	13 22 41 53
		epP ePcP	51 57 15	2.I	KRA /SKM/	Région de l'Alaska, USCGS: 59,5°N, 144,9°W, H=19 ^h 09 ^m 49,8 ^s , h=24 km; mb=4,9 /USCGS/ Δ=70,4°. Traces e1P	19 21 06,4 D
1.I	KRA /SKM/	Région des Iles Fidji, USCGS: 19,2°S, 178,2°W, H=08 ^h 31 ^m 39,1 ^s , h=638 km, mb=4,6 /USCGS/ Δ=146,2°. Traces ePKP ₁	08 50 10		NIE	Δ=71,0° eP	19 21 07
	NIE	Δ=146,6° e1PKP ₁ 1PKP ₂	08 50 10,0 D 12	2.I	NIE	Iles Philippines, USCGS: 10,0°N, 125,9°E, H=22 ^h 21 ^m 05,9 ^s , h=84 km; mb=4,9 /USCGS/ Δ=92,5° e1P Z: 1,0 ^s ; 0,006 μ	22 34 09
1.I	NIE	Iles aux Renards, USCGS: 53,0°N, 167,0°W, H=11 ^h 55 ^m 03,5 ^s , h=61 km; mb=4,6 /USCGS/ Δ=78,0°. Traces eP	12 06 56	3.I	KRA /SKM/	Hokkaido, Japon, USCGS: 41,3°N, 142,5°E, H=03 ^h 05 ^m 42,0 ^s , h=61 km; mb=5,2 /USCGS/, mPV=5,8 /Kraków/ 5,4 /Niedzica/ Δ=76,2° e1P Z: 1,0 ^s ; 0,084 μ ePcP ePP	03 17 24,7 C 39 20 11
2.I	NIE	Ile Crète, USCGS: 35,0°N, 23,1°E, H=00 ^h 46 ^m 15,0 ^s , h=32 km; mb=4,6 /USCGS/ Δ=14,3° eP 1PP 1PPP e1PPPP	00 49 38 47 55 50 05		NIE	Δ=76,6° 1P Z: 0,9 ^s ; 0,029 μ i e1PcP ePP	03 17 27,3 D 31 41 20 12
	KRA /SKM/	Δ=15,0° eP e1	00 49 46 53	3.I	NIE	Iles Salomon, USCGS: 11,0°S, 162,6°E, H=06 ^h 23 ^m 55,0 ^s , h= 38 km; mb=4,8 /USCGS/	
2.I	KRA /Ch/	Traces e/P/ e	05 20 10,1 15,8				

Date	Station	Phase	G.M.T. h m s	Date	Station	Phase	G.M.T. h m s	
3.I	KRA /suite/ /SKM/	$\Delta=130,6^\circ$. Traces ePP	06 45 22	3.I	WAR	1SSP i Lm	18 10 29 14 17 28 37	
3.I		Hondo, Japon, USCGS: $33,6^\circ\text{N}$, $138,7^\circ\text{E}$, $H=10^{\text{h}}11^{\text{m}}39,8^{\text{s}}$, $h=24$ km; $mb=5,2$ /USCGS/, $mPV=5,4$ /Kra- ków/, $MLH=5,9$ /Kraków/ $\Delta=80,8^\circ$. Traces			KRA /GW/	$\Delta=106,6^\circ$ Lm NE: 17^{s} ; $7,0\mu$, $9,8\mu$	18 40,5	
	KRA /SKM/	eiP	10 23 52,8 D	3.I		Ile Crète, USCGS: $34,7^\circ\text{N}$, $26,3^\circ\text{E}$, $H=23^{\text{h}}18^{\text{m}}41,3^{\text{s}}$, $h=32$ km; $mb=5,2$ /USCGS/		
		Z: $0,9^{\text{s}}$; $0,032\mu$			NIE	$\Delta=15,1^\circ$ eP 1PP 1PPP i i	23 22 18 32 37 46 23 04	
	/GW/	eiPoP Lm	24 00 57,7			KRA /SKM/	$\Delta=15,8^\circ$ eP ePPP	23 22 28 46
		NE: 16^{s} ; $3,9\mu$, $2,7\mu$			RAC /SK/	$\Delta=16,3^\circ$ eP	23 22 34	
	NIE	$\Delta=81,1^\circ$ iP iPoP i	10 23 54,5 D 24 01 12		WAR /SKD/	$\Delta=17,9^\circ$ ePPP ISS	23 23 02 26 07	
3.I		Local		4.I		Ile Jan Mayen, USCGS: $70,4^\circ\text{N}$, $15,1^\circ\text{W}$, $H=10^{\text{h}}28^{\text{m}}01,3^{\text{s}}$, h nor- male; $mb=4,2$ /USCGS/		
	KRA /SKM/	ePg _{NEZ} E	12 28 01,6 24		KRA /SKM/	$\Delta=26,4^\circ$. Traces eP	10 33 34	
3.I		Hokkaido, Japon, USCGS: $41,4^\circ\text{N}$, $143,4^\circ\text{E}$, $H=13^{\text{h}}51^{\text{m}}29,4^{\text{s}}$, $h=$ 25 km; $mb=5,3$ /USCGS/, $mPV=4,8$ /Niedzica/ $\Delta=76,5^\circ$			NIE	$\Delta=27,1^\circ$. Traces eP	10 33 39 C	
	KRA /SKM/	iP epP ei	14 03 18,8 D 26 46	4.I		Région S des Iles Fidji, USCGS: $23,5^\circ\text{S}$, $179,9^\circ\text{E}$, $H=11^{\text{h}}09^{\text{m}}08,6^{\text{s}}$, $h=580$ km; $mb=4,9$ /USCGS/		
	NIE	$\Delta=76,9^\circ$ iP	14 03 20,6 D		KRA /SKM/	$\Delta=149,4^\circ$. Traces iPKP ₁	11 27 54,1 D	
		Z: $1,0^{\text{s}}$; $0,009\mu$			NIE	$\Delta=149,8^\circ$ iPKP ₁ iPKP ₂	11 27 55,8 D 28 02	
3.I		Atlantique du Sud, USCGS: $55,5^\circ\text{S}$, $2,6^\circ\text{W}$, $H=17^{\text{h}}35^{\text{m}}40,2^{\text{s}}$, h normale; $mb=6,4$ /USCGS/, $MLH=6,5$ /Kraków/		4.I		A l'W de la Nouvelle Guinée,		
	NIE	$\Delta=106,0^\circ$. Traces eP ePP	17 50 05 54 29					
	WAR /SKD/	$\Delta=109,2^\circ$ iPS	18 04 13					

Date	Station	Phase	G.M.T. h m s	Date	Station	Phase	G.M.T. h m s
4.I	/suite/	USCGS: 3,3°S, 143,0°E, H=13 ^h 57 ^m 30,6 ^s , h=18 km; mb=5,2 /USCGS/		5.I	KRA	Δ=80,7°. Traces	
	NIE	Δ=113,4°. Traces		/SKM/	e1P		04 20 25,8 D
		ePKP	14 16 13	NIE	Δ=80,7°		
4.I		Local			1P		04 20 26,8 D
	NIE	e1Pg _Z	14 51 54,0	6.I		Hondo, Japon, USCGS: 36,4°N, 141,2°E, H=06 ^h 04 ^m 21,3 ^s , h=45 km; mb=5,4 /USCGS/, mPV=5,9 /Kraków/, 5,5 /Niedzica/	
4.I		Pakistan, USCGS: 29,2°N, 69,2°E, H=19 ^h 31 ^m 20,3 ^s , h=34 km; mb=4,9 /USCGS/		KRA	Δ=79,7°		
	NIE	Δ=42,0°		/SKM/	1P		06 16 25,0 C
		1P	19 09 15,3 C		Z: 0,8 ^s ; 0,074 μ		
		eipP	23		ePcP		32
		ei	39		1pP		37
4.I		Hondo, Japon, USCGS: 34,5°N, 137,1°E, H=21 ^h 08 ^m 53,4 ^s , h=40 km; mb=5,6 /USCGS/, mPV=5,7 /Kraków/, 5,4 /Niedzica/, MLH=5,6 /Kraków/		NIE	Δ=80,0°		
	KRA	Δ=79,3°			1P		06 16 27,8 C
	/SKM/	1P	21 20 55,4 D		Z: 0,9 ^s ; 0,034 μ		
		Z: 1,0 ^s ; 0,066 μ			1PcP		37
		ePcP	21 04	7.I		Iles Andreanov, Aléoutiennes, USCGS: 52,4°N, 173,3°W, H=02 ^h 49 ^m 57,5 ^s , h=87 km; mb=5,6 /USCGS/	
	/SKD/	eSKS	30 53		NIE	Δ=78,2°	
		ePS	31 21		eP		03 01 49
		e	52 33		ei		02 31
		Lm	58,7	7.I		Local	
		NEZ: 20 ^s ; 2,8 μ, 1,6 μ, 5,2 μ			KRA		
	NIE	Δ=79,6°		/Ch/	e/Pg/Z		12 34 18,5
		1P	21 20 57,0		ei _Z		23,0
		Pm	21 00	7.I		Local	
		Z: 1,0 ^s ; 0,035 μ			KRA		
		e1PcP	07	/SKM/	e1Pg _{NEZ}		12 50 23,0
		ei	21		e _{NZ}		30,0
	RAC	Δ=80,1°			F		51 00
	/SK/	eP	21 20 59	8.I			
4.I				NIE			
	NIE				e1P		08 15 57
		eP	23 09 50	8.I		Région du Kamtchatka, USCGS: 53,7°N, 161,5°E, H=11 ^h 39 ^m 50,9 ^s , h=33 km; mb=4,7 /USCGS/	
5.I		Iles Riou-Kiou, USCGS: 25,6°N, 128,3°E, H=04 ^h 08 ^m 19,4 ^s , h=75 km; mb=4,6 /USCGS/		KRA	Δ=71,9°. Traces		
				/SKM/	eP		11 51 12

Date	Station	Phase	G.M.T. h m s	Date	Station	Phase	G.M.T. h m s
8.I	KRA	eiPoP	11 51 25	10.I	WAR	1SKKS	07 43 14
/suite/	NIE	$\Delta = 72,4^\circ$		NIE	$\Delta = 111,2^\circ$		
		eP	11 51 16 C		ePdif		07 31 38
		eiPoP	28		iPKP		35 40
8.I		Iles Kouriles, USCGS: $47,4^\circ\text{N}$, $154,4^\circ\text{E}$, $H=14^{\text{h}}45^{\text{m}}29,5^{\text{s}}$, $h=22$ km; $mb=5,6$ /USCGS/, $mPV=6,1$ /Kraków/ Niedzica/, $MLH=6,0$ /Kraków/			ei		52
	KRA	$\Delta = 75,5^\circ$			ei		36 07
/SKM/		eiP	14 57 10,8 C		iPP		27
		Z: $0,9^{\text{s}}$; $0,136\mu$			Lm		08 23,5
/SKD/		eiPoP	20,8			NEZ: 22^{s} ; 140μ , $76,9\mu$, 220μ	
		eS	15 06,9		Lm		25,3
		eL	22,0			NE: 20^{s} ; $114,6\mu$, $54,3\mu$	
		Lm	28,3		Lm		35,4
			NE: 24^{s} ; $4,5\mu$, $5,0\mu$			Z: 24^{s} ; 350μ	
		Lm	28,6		KRA	$\Delta = 111,2^\circ$	
			Z: 23^{s} ; $3,2\mu$	/SKM/	ePdif		07 31 39
		Lm	34,1		ei		49
			E: 18^{s} ; $3,2\mu$		iPP		36 19
		Lm	34,7		i		44
			NZ: 18^{s} ; $8,5\mu$, $11,3\mu$	/GW/	Lm		08 23,5
RAC		$\Delta = 76,0^\circ$				NEZ: 21^{s} ; $461,7\mu$, $311,8\mu$, $52,0\mu$	
/SK/		eP	14 57 13	10.I	Local		
NIE		$\Delta = 75,9^\circ$			KRA		
		iP	14 57 14,1 C	/SKM/	iP _{EZ}		09 06 31,0
		Z: $0,9^{\text{s}}$; $0,138\mu$			iS _{EZ}		33,7
		i	21		F		07 30
		i	33	10.I	Région de la Nouvelle Guinée, USCGS: $43,0^\circ\text{S}$, $139,6^\circ\text{E}$, $H=10^{\text{h}}45^{\text{m}}$ $06,8^{\text{s}}$, $h=36$ km; $mb=6,1$ /USCGS/		
9.I				NIE	$\Delta = 111,1^\circ$		
	NIE	e/P/	00 00 11		ePKP		11 03 46
		i	14		eiPP		04 23
10.I		Région de la Nouvelle Guinée, USCGS: $3,1^\circ\text{S}$, $139,7^\circ\text{E}$, $H=07^{\text{h}}17^{\text{m}}$ $03,7^{\text{s}}$, h normale; $mb=7,3$ /USCGS/ $MLH=8,1$ /Kraków/, $7,5$ /Niedzica/		10.I	Région frontière Afghanistan- URSS, USCGS: $36,9^\circ\text{N}$, $71,7^\circ\text{E}$, $H=15^{\text{h}}27^{\text{m}}36,9^{\text{s}}$, $h=196$ km		
	WAR	$\Delta = 109,6^\circ$		NIE	$\Delta = 38,8^\circ$		
/SKD/		iPdif	07 31 27 D		eP		15 34 44
		iPP	36 16	10.I	Région de la Nouvelle Guinée, USCGS: $3,4^\circ\text{S}$, $140,0^\circ\text{E}$, $H=16^{\text{h}}38^{\text{m}}$ $36,0^{\text{s}}$, $h=27$ km; $mb=5,5$ /USCGS/		
		iPPP	38 46	NIE	$\Delta = 111,7^\circ$. Traces		
					ePP		16 57 56

Date	Station	Phase	G.M.T. h m s	Date	Station	Phase	G.M.T. h m s
10.I	NIE	Région de la Nouvelle Guinée, USCGS: 3,2°S, 139,6°E, H=19 ^h 13 ^m 36,8 ^s , h=33 km; mb=5,8 /USCGS/ Δ=111,2°. Traces ePKP 19 32 11 epP 29 ePP 54		11.I	KRA /SKM/ NIE	Région des Iles Fidji, USCGS: 25,1°S, 178,3°E, H=19 ^h 31 ^m 32,7 ^s , h=606 km; mb=4,5 /USCGS/ Δ=150,2°. Traces ePKP ₁ 19 50 16 D Δ=150,5° eiPKP ₁ 19 50 17,7 D Z: 1,0 ^s ; 0,014μ ePKP ₂ 27	
10.I	NIE	Région de la Nouvelle Guinée, USCGS: 3,1°S, 139,7°E, H=19 ^h 34 ^m 22,3 ^s , h=39 km; mb=5,7 /USCGS/ Δ=111,2°. Traces ePKP 19 52 51		11.I	NIE	URSS-Afghanistan, USCGS: 36,9°N, 71,6°E, H=20 ^h 21 ^m 34,3 ^s , h=163 km; mb=4,6 /USCGS/ Δ=38,7° eP 20 28 45 C ipP 29 10 i 24	
10.I	KRA /SKM/ NIE	Mer d'Okhotsk, USCGS: 55,0°N, 142,3°E, H=20 ^h 05 ^m 09,0 ^s , h=13 km mb=5,0 /USCGS/ Δ=65,0° eP 20 15 49 ePcP 16 24 Δ=65,4° iP 20 15 52,6 D Z: 0,9 ^s ; 0,027μ ei 16 04		11.I	KRA /SKM/ NIE	URSS-Mongolie, USCGS: 50,1°N, 91,0°E, H=21 ^h 04 ^m 07,4 ^s , h normale, mb=4,5 /USCGS/ Δ=44,2° eP 21 12 21	
10.I	NIE	Région de la Nouvelle Guinée USCGS: 3,2°S, 139,9°E, H=22 ^h 14 ^m 37,4 ^s , h=30 km; mb=6,1 /USCGS/ Δ=111,4° ePP 22 33 52		11.I	KRA /SKM/ NIE	Région des Iles Fidji, USCGS: 20,5°S, 178,5°W, H=21 ^h 03 ^m 23,2 ^s , h=584 km; mb=4,7 /USCGS/ Δ=147,3° iPKP ₁ 21 22 02,1 iPKP ₂ 06,4 Δ=147,7° iPKP ₁ 21 22 03,9 D Z: 1,0 ^s ; 0,021μ	
11.I	KRA /Ch/	e/P/ 12 53 19 ei 24,0 ei 30,5		11.I	NIE	Région frontière URSS-Mongolie, USCGS: 50,1°N, 90,9°E, H=23 ^h 39 ^m 34,9 ^s , h normale; mb=4,5 /USCGS/ Δ=44,1°. Traces eP 23 47 42	
11.I	KRA /SKM/ NIE	Formose, USCGS: 23,7°N, 121,7°E, H=19 ^h 06 ^m 45,5 ^s , h=20 km; mb=5,4 /USCGS/ Δ=79,1° eP 19 18 51 Δ=79,5° iP 19 18 51,7 D		12.I		Région des Iles de la Reine Charlotte, USCGS: 9,9°N, 138,2°E, H=14 ^h 42 ^m 15,4 ^s ,	

Date	Station	Phase	G.M.T. h m s	Date	Station	Phase	G.M.T. h m ss
12.I		h normale; mb=5,5 /USCGS/		14.I			
/suite/	KRA	$\Delta = 99,9^\circ$. Traces			NIE		
	/SKM/	eP	14 55 57		eP		14 29 34
	NIE	$\Delta = 100,0^\circ$			e		30 12
		eP	14 55 59 D	14.I			
13.I					NIE		
	NIE	Traces			eP _Z		20 42 23,7
		eP	15 42 03	14.I			
		e	14		Près de la côte E de Kamtchatka,		
		e	43 12		USCGS: 53,6°N, 161,6°E, H=23 ^h 43 ^m		
13.I		Région frontière URSS-Afghani-			20,8 ^s , h=44 km; mb=5,0 /USCGS/		
		stan, USCGS: 38,9°N, 71,0°E, .		KRA	$\Delta = 72,0^\circ$		
		H=21 ^h 52 ^m 35,6 ^s , h=72 km; mb=4,8		/SKM/	eP		23 54 40
		/USCGS/		NIE	$\Delta = 72,5^\circ$		
	NIE	$\Delta = 37,2^\circ$			eP		23 54 43
		eP	21 59 41		ipP		56
		e	50		e1PcP		55 02
	KRA	$\Delta = 37,4^\circ$. Traces		15.I			
	/SKM/	eP	21 59 43		Jura Souabe, Allemagne, USCGS:		
14.I					48,1°N, 9,2°E, H=02 ^h 55 ^m 15,6 ^s ,		
		Région du Kamtchatka, USCGS:			h=3 km		
		56,0°N, 163,0°E, H=04 ^h 21 ^m 13,3 ^s ,		RAC	$\Delta = 6,2^\circ$		
		h=45 km; mb=4,7 /USCGS/		/SK/	eSg		02 58 39
	KRA	$\Delta = 70,2^\circ$		KRA	$\Delta = 7,3^\circ$		
	/SKM/	eP	04 32 21	/SKM/	e1Sg		02 59 10,9
	NIE	$\Delta = 70,7^\circ$		NIE	$\Delta = 7,4^\circ$		
		eP	04 32 25		iSg		02 59 22,3
14.I		Local		15.I			
	NIE				Local		
		iPg _Z	09 59 50,0 C	KRA			
		i _Z	54,0	/SKM/	e1P _Z		12 40 54,1
		iSg _{NE}	10 00 00,5		e1 _{EZ}		58,6
		F	30		F		41 15
	KRA			15.I			
	/SKM/	e1/Sg/NEZ	10 00 21		Région des Iles Kermadec,		
14.I					USCGS: 33,1°S, 178,4°W, H=		
		Atlantique, USCGS: 11,3°N,			19 ^h 32 ^m 42,8 ^s , h normale; mb=		
		43,7°W, H=11 ^h 18 ^m 12,2 ^s , h norma-			4,7 /USCGS/		
		le, mb=5,0 /USCGS/		NIE	$\Delta = 158,7^\circ$		
	KRA	$\Delta = 64,5^\circ$. Traces			ePKP ₁		19 52 37
	/SKM/	eP	11 28 49		ePKP ₂		53 11
				KRA	$\Delta = 158,5^\circ$. Traces		
				/SKM/	ePKP ₁		19 52 41

Date	Station	Phase	G.M.T. h m s	Date	Station	Phase	G.M.T. h m s
16.I	KRA /SKM/	Traces eP	09 18 48	18.I	KRA	e1 iPoP	05 13 57 14 04
17.I	KRA /SKM/	Près de la côte E du Kamtchatka, USCGS: 56,2°N, 162,4°E, H=00 ^h 18 ^m 32,5 ^s , h normale; mb=4,7 /USCGS/ Δ=69,9°. Traces eP	00 29 47	NIE	Δ=76,3° iP		05 13 53,5 D Z: 1,0 ^s ; 0,019μ
	NIE	Δ=70,4°. Traces eP	00 29 50		i		58
17.I		Alpes Bernoises, Suisse, BGIS: 46,5°N, 7,6°E, H=04 ^h 20 ^m 10 ^s Δ=9,0° eSn	04 24 09	18.I	KRA /SKM/	Détroit des Moluques, USCGS: 1,1°N, 125,9°E, H=05 ^h 52 ^m 21,5 ^s , h normale; mb=5,7 /USCGS/ Δ=99,4° eP	06 06 01
		eSg	25 06		NIE	Δ=99,3° eP	10 07
		e	25			i	06 06 02 07 07
17.I	NIE	eP	06 01 54,3	19.I	KRA /SKD/	eL	03 55
17.I	NIE	Proche e/P/ i i	13 09 07 31 52			Lm	58,5 NE: 50 ^s ; 3,4μ, 1,1μ
17.I	NIE	eP	22 10 19,3			Lm	04 15,5 NEZ: 19 ^s ; 3,5μ, 7,5μ, 13,5μ
18.I	NIE	Détroit des Moluques, USCGS: 1,0°N, 125,8°E, H=00 ^h 03 ^m 31,6 ^s , h normale; mb=5,4 /USCGS/ Δ=99,3° eP	00 17 15	19.I	NIE	Crête, USCGS: 34,4°N, 24,0°E, H=23 ^h 33 ^m 56,8 ^s , h normale; mb= 4,8 /USCGS/ Δ=15,0° eP	23 37 32
		i	31			i	37
		i	45		KRA /SKM/	Δ=15,7° eP	23 37 43
18.I	KRA /SKM/	Région de Hokkaido, Japon, USCGS: 41,6°N, 142,6°E, H=05 ^h 02 ^m 08,8 ^s , h=47 km; mb=5,4 /USCGS/, mFV=5,2 /Niedzioa/ Δ=76,0° iP	05 13 51,1 D		/SKD/	eL	42
						Lm	46,4
						NEZ: 18 ^s ; 2,8μ, 1,5μ, 3,3μ	
					RAC /SK/	Δ=16,0°. Traces eP	23 37 47

Date	Station	Phase	G.M.T. h m s	Date	Station	Phase	G.M.T. h m s
20.I		Panama, USCGS: 8,8°N, 79,2°W, H=04 ^h 45 ^m 00,1 ^s , h=33 km; mb=5,6 /USCGS/, mFV=5,8 /Kraków/, 5,5 /Niedzica/		20.I		Région frontière Iran-Irak, USCGS: 35,1°N, 46,9°E, H=21 ^h 32 ^m 03,0 ^s , h=57 km; mb=5,1 /USCGS/ Δ=24,0°	
	RAC	Δ=88,5°			NIE	eP	21 37 16,9 D
	/SK/	e1P	04 57 51			i	21
	KRA	Δ=89,2°				1pP	32
	/SKM/	iP	04 57 55,1 C			e1PP	57
		Z: 0,9 ^s ; 0,063 μ			KRA	Δ=24,6°	
		iPcP	58 00		/SKM/	eP	21 37 19
		e1	08			eipP	39
	/SKD/	eScS	05 08 49			e1PP	51
		eL	21,1			ePPP	38 08
		Lm	22,7		RAC	Δ=25,6°	
		✓N: 42 ^s ; 2,8 μ			/SK/	eP	21 37 30
		Lm	31,0				
		✓EZ: 24 ^s ; 2,6 μ, 4,5 μ		21.I		Région E de Nouvelle Guinée, USCGS: 6,8°S, 147,5°E, H=06 ^h 17 ^m 30,8 ^s , h=55 km; mb=5,6 /USCGS/	
	NIE	Δ=89,6°			KRA	Δ=118,8°. Traces	
		iP	04 57 57,5 C		/SKM/	e1PKP	06 36 15
		Z: 1,0 ^s ; 0,031 μ			NIE	Δ=118,9°	
		iPcP	58 03			e1PKP	06 36 15
		e1	17			Z: 1,0 ^s ; 0,013 μ	
20.I		Local		21.I		Local	
	KRA				KRA		
	/SKM/	e1Pg _{EZ}	12 31 42,9		/SKM/	1P _{NEZ}	09 40 44,2
		e1 _{NEZ}	46,9			i _{NEZ}	48,7
		F	32,1			F	41 04
20.I		Local		21.I		Région des Iles Fidji, USCGS: 21,5°S, 176,7°W, H=12 ^h 23 ^m 32,0 ^s , h=193 km; mb=5,1 /USCGS/	
	NIE				KRA	Δ=148,8°	
		1Pg _Z	13 33 19,7		/SKM/	e1PKP ₁	12 42 57,2 D
		i _Z	23,5			Z: 0,7 ^s ; 0,082 μ	
		e _Z	41,5			e1PKP ₂	43 01,0
	KRA				NIE	Δ=149,3°	
	/SKM/	e1Pg _{NE}	13 33 21,1			1PKP ₁	12 42 59,0 D
		i _{NEZ}	23,7			Z: 0,9 ^s ; 0,090 μ	
20.I		Près de la côte de Hondo, Japon, USCGS: 36,4°N, 141,1°E, H=21 ^h 02 ^m 45,5 ^s , h=52 km; mb=4,5 /USCGS/				i	43 16
	NIE	Δ=79,9°. Traces					
		e1P	21 14 50				

Date	Station	Phase	G.M.T. h m s	Date	Station	Phase	G.M.T. h m s
21.I	RAC	$\Delta=149,3^\circ$		24.I	KRA	eiPcP	13 40 39
/suite/	/SK/	eiPKP ₁	12 43 00			eL	14 06,8
		eiPKP ₂	05			Lm	08,8
22.I		Région des Iles Fidji, USCGS: 18,0°S, 178,4°W, H=02 ^h 36 ^m 10,9 ^s , h=597 km; mb=4,7 /USCGS/				NE: 30 ^s ; 20,0 μ , 17,6 μ	
	KRA	$\Delta=145,0^\circ$		NIE	$\Delta=74,9^\circ$		
/SKM/	1PKP ₁		02 54 42,3 C		1P		13 40 21,0 C
		Z: 0,7 ^s ; 0,029 μ				Z: 0,8 ^s ; 0,033 μ	
	NIE	$\Delta=145,4^\circ$			eipP		31
	1PKP ₁		02 54 44,0 C		i		56
22.I	X	Local			RAC	$\Delta=74,9^\circ$. Traces	
	KRA			/SK/	eP		13 40 22
/SKM/	1P _N		12 56 08,7	24.I		Iles Kouriles, USCGS: 49,1°N, 156,3°E, H=13 ^h 47 ^m 36,2 ^s , h=34 km; mb=4,6 /USCGS/	
	Lm		10		NIE	$\Delta=75,0^\circ$. Traces	
		NEZ: 0,5 ^s ; 5,4 μ , 5,1 μ , 2,9 μ			eP		13 59 15
22.I				24.I		Région des Iles Fidji, USCGS: 20,5°S, 178,4°W, H=18 ^h 41 ^m 28,0 ^s , h=557 km; mb=4,9 /USCGS/	
	NIE				KRA	$\Delta=147,3^\circ$	
	1P		20 18 33,1 D	/SKM/	eiPKP ₁		19 00 09,3 D
		Z: 0,9 ^s ; 0,017 μ			NIE	$\Delta=147,7^\circ$	
	e		40		1PKP ₁		19 00 11,1 D
23.I		Local				Z: 0,9 ^s ; 0,023 μ	
	KRA				ePKP ₂		20
/SKM/	e/Pg/Z		10 55 35,1	24.I		Région de l'Ile Kodiak, USCGS: 56,4°N, 153,0°W, H=23 ^h 16 ^m 31,1 ^s , h=38 km; mb=5,2 /USCGS/	
	ei _{NZ}		41,6		KRA	$\Delta=74,0^\circ$. Traces	
24.I		Iles Kouriles, USCGS: 49,2°N, 156,3°E, H=13 ^h 21 ^m 15,6 ^s , h nor- male, mb=4,9 /USCGS/		/SKM/	eP		23 28 03
	KRA	$\Delta=74,4^\circ$			epP		12
/SKM/	eiP		13 32 51 D		NIE	$\Delta=74,7^\circ$	
	ePcP		33 06		eP		23 28 07
	NIE	$\Delta=75,0^\circ$			epP		14
	eiP		13 32 54,5 D		ePcP		23
		Z: 1,0 ^s ; 0,014 μ		24.I		Iles Kouriles, USCGS: 49,2°N, 156,1°E, H=13 ^h 28 ^m 43,6 ^s , h= 36 km; mb=5,2 /USCGS/, MLH=6,3 /Kraków/, mPV=5,5 /Niedzica/ $\Delta=74,4^\circ$	
	epP		33 00		KRA		
	eiPcP		09	/SKM/	eiP		13 40 18,2 D
24.I					eipP		28
				25.I		Région des Iles Dentrecasteaux, USCGS: 9,6°S, 151,4°E, H=00 ^h 18 ^m 26,1 ^s , h=38 km; mb=5,8 /USCGS/, MLH=5,9 /Kraków/	
					NIE	$\Delta=123,4^\circ$	
					ePKP		00 37 17

Date	Station	Phase	G.M.T. h m s	Date	Station	Phase	G.M.T. h m s
25.I	NIE	i	00 37 21	25.I	RAC	ePcP	16 20 21
/suite/		ipPKP	30		NIE	$\Delta=78,6^{\circ}$	
		i	38		e1P		16 20 13
		e1	38 56		iPcP		22
		iPP	39 13		e1		45
	KRA	$\Delta=123,3^{\circ}$			i		21 35
	/SKM/	ePKP	00 37 21	25.I		Région du Spitzberg, USCGS: 76,9°N, 8,1°E, H=16 ^h 28 ^m 46,8 ^s , h normale; mb=4,7 /USCGS/	
		ePP	39 10		KRA	$\Delta=27,6^{\circ}$	
	/SKD/	ePS	49 00		/SKM/	eP	16 34 30,2 C
		ePKKS	51,5		NIE	$\Delta=28,9^{\circ}$	
	✓ Lm		01 24,3		e1P		16 34 36,3
		NE: 33 ^s ; 4,3 μ , 3,1 μ			e		43,3
	RAC	$\Delta=124,3^{\circ}$		25.I			
	/SK/	ePKP	00 37 27		KRA		
25.I					/SKM/	eP	21 39 05,2
	NIE	Traces			NIE		
		eP	00 45 24,2		e1P		21 39 12,4
		e	31,2	25.I			
		ePP	47 11		KRA		
					/SKM/	eP	01 07 32
25.I					NIE	$\Delta=28,1^{\circ}$	
					e1P		01 07 38,4 C
					e1pP		49
				26.I			
					Région du Spitzberg, USCGS: 76,9°N, 10,6°E, H=01 ^h 01 ^m 48,7 ^s , h normale; mb=4,6 /USCGS/		
	WAR	$\Delta=75,4^{\circ}$			KRA	$\Delta=27,5^{\circ}$	
	/SKD/	e1P	16 19 55 D		/SKM/	eP	01 07 32
		ePP	22,8		NIE	$\Delta=28,1^{\circ}$	
		ePPP	24 35		e1P		01 07 38,4 C
		eS	29 35		e1pP		49
		e	34 55	26.I			
		i	38 47		Région des Iles Nicobar, USCGS: 6,2°N, 95,0°E, H=01 ^h 44 ^m 51,2 ^s , h=119 km; mb=5,0 /USCGS/		
		Lm	53,3		NIE	$\Delta=75,3^{\circ}$	
					e1P		01 56 23
		NE: 22 ^s ; 200 μ , 90 μ			KRA	$\Delta=75,7^{\circ}$. Traces	
		Lm	55,3		/SKM/	e1P	01 56 24,8 C
		Z: 20 ^s ; 170 μ		26.I			
	KRA	$\Delta=78,0^{\circ}$			Région du Spitzberg, USCGS: 76,6°N, 7,6°E, H=06 ^h 24 ^m 12,1 ^s , h normale; mb=4,9 /USCGS/		
	/SKM/	e1P	16 20 09,7 D		KRA	$\Delta=27,4^{\circ}$. Traces	
	/SKD/	e1S	29 57		/SKM/	eP	06 29 54
		e1SKS	30 15		ePP		30 45
		eSS	35,2				
	✓ Lm		52,3				
		NE: 24 ^s ; 32 ^s ; 17,2 μ , 4,3 μ					
	RAC	$\Delta=78,1^{\circ}$					
	/SK/	eP	16 20 11				

Date	Station	Phase	G.M.T. h m s	Date	Station	Phase	G.M.T. h m s
26.I	NIE	eP	16 39 40 D	27.I	NIE	ei i	22 41 29 43 33
26.I	NIE	Iles Andreanov, Aléoutiennes, USCGS: 51,7°N, 174,9°W, H=19 ^h 32 ^m 04,9 ^s , h=36 km; mb=5,4 /USCGS/ Δ=78,7°	eP 19 44 04 eiPcP 10	28.I	NIE	Région de l'Ile Jan Mayen, USCGS: 70,1°N, 16,4°W, H=01 ^h 44 ^m 56,6 ^s , h normale; mb=4,4 /USCGS/ Δ=27,3°	eP 01 50 37,6
26.I	NIE	Caucase, USCGS: 43,8°N, 39,2°E, H=22 ^h 48 ^m 31,1 ^s , h=28 km; mb=4,8 /USCGS/ Δ=14,1°	eP 22 51 48 iPP 52 03 iPPP 13	28.I	NIE	Région des Iles Fidji, USCGS: 7,9°S, 178,5°W, H=06 ^h 29 ^m 01,0 ^s , h=616 km; mb=5,0 /USCGS/ Δ=145,3°	eiPKP ₁ 06 47 31,0 C Z: 0,9 ^s ; 0,102 μ
	RAC /SK/	Δ=15,6°	eP 22 52 13 ePP 23	28.I	NIE	Iran, USCGS: 35,0°N, 47,0°E, H=15 ^h 51 ^m 06,6 ^s , h=43 km; mb=4,6 /USCGS/ Δ=24,2°	éP 15 56 21
27.I	NIE	Détroit des Moluques, USCGS: 1,7°N, 126,4°E, H=16 ^h 05 ^m 41,2 ^s , h normale; mb=5,7 /USCGS/ Δ=99,2°	eP 16 19 21	29.I	NIE		eiP 05 10 09,0
27.I	NIE		eiP 20 27 55,2 C ei 28 16,2	29.I	KRA /SKM/	Mer du Groenland, USCGS: 78,8°N, 8,0°E, H=08 ^h 33 ^m 49,7 ^s , h normale; mb=4,8 /USCGS/ Δ=29,5°	eiP 08 39 53
27.I	NIE	Région du Spitzberg, USCGS: 76,7°N, 7,0°E, H=20 ^h 45 ^m 42,8 ^s , h=31 km; mb=4,9 /USCGS/ Δ=28,2°	eiP 20 51 31		NIE	Δ=30,1°	eiP 08 39 55 ePP 40 57
27.I	NIE	Sumatra, USCGS: 1,9°N, 99,2°E, H=22 ^h 28 ^m 20,8 ^s , h=116 km; mb=5,4 /USCGS/ Δ=81,3°	eiP 22 40 25,8 C Z: 0,8 ^s ; 0,026 μ ePcP 33 epP 59	29.I	KRA /SKM/	Local	eiPg _N 12 32 30,6 ei _Z 41,6
				29.I		Près de la côte S de Honq, Japon, USCGS: 40,3°N, 141,6°E, H=16 ^h 42 ^m 56,3 ^s , h=67 km; mb=5,3 /USCGS/, mPV=5,6 /Kraków/, 5,5 /Niedzica/	

Date	Station	Phase	G.M.T. h m s		Date	Station	Phase	G.M.T. h m s
29.I	KRA	$\Delta=76,7^{\circ}$			29.I	KRA		
/suite//SKM/	e1P		16 54 40,7	C	/SKM/	1S		22 16 54
		Z: $0,8^S$; $0,041\mu$				Sm		59
	e1PcP		58				NE: $1,5^S$; $2,0^S$; $3,3\mu$, $1,8\mu$	
	1pP		55 02		/SKD/	1SKS		17 33
NIE	$\Delta=77,0^{\circ}$					1		20 13
	1P		16 54 42,7	C	NIE	$\Delta=71,1^{\circ}$		
		Z: $0,8^S$; $0,038\mu$				1P		22 08 28,8 D
	ePcP		56				Z: $1,0^S$; $0,205\mu$	
	e1		55 09			1PcP		41
	e1		57 55			1		09 31
29.I		Hondo, Japon, USCGS: $32,1^{\circ}N$, $138,2^{\circ}E$, $H=20^h31^m48,7^s$, $h=366$ km; $mb=4,6$ /USCGS/				1		10 31
NIE	$\Delta=82,0^{\circ}$					1S		16 58
	eP		20 43 30			e1		17 01
29.I		Près de la côte E de Kamtchatka, USCGS: $55,7^{\circ}N$, $163,5^{\circ}E$, $H=21^h23^m$ $42,7^s$, h normale; $mb=4,6$ /USCGS/				1SKS		25
NIE	$\Delta=71,1^{\circ}$. Traces				RAC	$\Delta=71,1^{\circ}$		
	eP		21 34 59		/SK/	1P		22 08 30
29.I		Mer d'Okhotsk, USCGS: $51,7^{\circ}N$, $150,9^{\circ}E$, $H=21^h58^m05,4^s$, $h=544$ km $mb=6,1$ /USCGS/					Z: 1^S ; 430μ	
WAR	$\Delta=68,1^{\circ}$					1PcP		46
/GW/	1P		22 08 16	D		1pP		10 19
		Z: 6^S ; $11,0\mu$			/M/	1ScS		17 03
	1pP		10 08				NE: 4^S ; 750μ , 750μ	
	1PP		59		29.I	Mer d'Okhotsk, USCGS: $51,9^{\circ}N$, $151,2^{\circ}E$, $H=22^h16^m06,6^s$, $h=$ 522 km; $mb=4,9$ /USCGS/		
	1S		16 33		NIE	$\Delta=71,0^{\circ}$		
		NE: 9^S ; 7^S ; $20,3\mu$, $44,7\mu$				1P		22 26 32,3 D
	1ScS		57				Z: $0,9^S$; $0,044\mu$	
	1		17 23			ePcP		46
	1pScS		19 48			eScS		35 30
	1		24 48		29.I	Sud des Iles Fidji, USCGS: $23,9^{\circ}S$, $176,0^{\circ}W$, $H=23^h37^m24,5^s$, $h=22$ km; $mb=5,1$ /USCGS/		
KRA	$\Delta=70,6^{\circ}$				KRA	$\Delta=151,3^{\circ}$		
/SKM/	e1P		22 08 25,5	D	/SKM/	e1PKP ₁		23 57 17,6 D
		Z: $0,6^S$; $3,985\mu$					Z: $1,0^S$; $0,030\mu$	
	1		28			ePKP ₂		29
	1PcP		30		NIE	$\Delta=151,7^{\circ}$		
/SKD/	1pP		10 17			e1PKP ₁		23 57 19
	1PP		11 13				Z: $1,1^S$; $0,010\mu$	
	1		12 40			1		21
						e1PKP ₂		33

Date	Station	Phase	G.M.T. h m s	Date	Station	Phase	G.M.T. h m s
30.I		Sud des Iles Fidji, USCGS: 23,0°S 177,8°W, H=02 ^h 18 ^m 53,4 ^s , h=262 km mb=4,3 /USCGS/ NIE Δ=150,2°		30.I		h=48 km; mb=5,0 /USCGS/ KRA Δ=151,5°. Traces /SKM/ ePKP ₁ 18 49 15 ePKP ₂ 29	
		ePKP ₁ 02 38 16,4 ePKP ₂ 22				NIE Δ=151,9° ePKP ₁ 18 49 23 ePKP ₂ 32	
30.I		Sud des Iles Fidji, USCGS: 24,1°S, 176,0°W, H=18 ^h 29 ^m 31,9 ^s ,					
1971	F É V R I E R			1971			
1.II		Turquie, USCGS: 37,2°N, 30,2°E, H=01 ^h 12 ^m 26,8 ^s , h=35 km; mb=4,5 /USCGS/, MLH=4,0 /Kraków/ KRA Δ=14,6°		1.II		Sicile, USCGS: 38,7°N, 14,1°E, H=07 ^h 50 ^m 10,7 ^s , h normale; mb= 4,3 /USCGS/ NIE Δ=11,4°	
		/SKM/ eP 01 15 55 ePP 16 02 eL 20,6 Lm 21,2 NE: 18 ^s ; 0,7μ, 0,9μ				eP 07 52 58	
1.II		Iles Andreanov, Aléoutiennes, USCGS: 51,7°N, 172,9°W, H=05 ^h 19 ^m 23,4 ^s , h=40 km; mb=5,5 /USCGS/, MLH=5,7 /Kraków/ KRA Δ=78,3°		1.II		Local NIE Traces	
		/SKM/ eP 05 31 19 ePKP 23 ePKP 37 /SKD/ eSKS 41 19 Lm 57,6 NZ: 45 ^s ; 3,0μ, 2,2μ Lm 06 05,6 NZ: 23 ^s ; 4,5μ, 5,4μ				ePKP ₂ 16 13 54,3 eSG _E 14 04,3 F 30	
1.II		Région Sud des Iles Fidji, USCGS: 25,5°S, 176,8°W, H=06 ^h 14 ^m 50,2 ^s , h=44 km; mb=5,4 /USCGS/, KRA Δ=152,5°		2.II		Iles Andreanov, Aléoutiennes, USCGS: 51,8°N, 173,2°W, H=00 ^h 48 ^m 55,3 ^s , h=40 km; mb=4,0 /USCGS/ KRA Δ=78,2°	
		/SKM/ 1PKP ₁ 06 34 42,7 D Z: 0,7 ^s ; 0,037μ ePKP ₂ 50 /SKD/ eL 07 56,6				/Ch/ ePKP 01 00 51 e 58 NIE Δ=78,8° 1P 01 00 54,9 D e 59	
				2.II		Inde, région frontière du Paki- stan, USCGS: 23,8°N, 91,8°E, H=07 ^h 59 ^m 57,0 ^s , h=48 km; mb=5,4 /USCGS/, mPV=5,8 /Niedzica/ NIE Δ=60,4°	
						1P 08 10 03,3 C Z: 0,9 ^s ; 0,078μ i 11,5 1pP 17,5	

Date	Station	Phase	G.M.T. h m s	Date	Station	Phase	G.M.T. h m s
2.II	KRA /suite/ /SKM/	$\Delta=60,6^{\circ}$ eIP	08 10 04	3.II	NIE	$\Delta=145,2^{\circ}$ iPKP ₁ Z: 0,9 ^S ; 0,049 μ	06 26 07
2.II	KRA /SKM/	Local e/Pg/N e ₁ NE F	12 18 10,3 13,3 35	3.II	NIE	e/P/ e	07 28 57 30 14
2.II	KRA /SKM/	Iles Tonga, USCGS: 21,1 ^O S, 175,7 ^O W, H=15 ^h 18 ^m 21,5 ^S , h= 87 km; mb=5,4 /USCGS/ $\Delta=148,8^{\circ}$ ePKP ₁ e ₁ e ₁ PKP ₂	15 37 56 59 38 22	3.II	KRA /SKM/	Local ePg _Z iSg _E F	09 22 49,9 54,4 23 20
	NIE	$\Delta=149,2^{\circ}$ ePKP ₁ i iPKP ₂ i	15 37 57 38 01 23 34	3.II	KRA /SKM/	Local ePg _{EZ} i _N F	12 50 28,4 30,9 51,0
2.II	NIE	Kiou-Siou, Japon, USCGS: 31,9 ^O N, 131,9 ^O E, H=18 ^h 14 ^m 56,7 ^S h=55 km; mb=4,3 /USCGS/ $\Delta=79,0^{\circ}$. Traces eP	18 26 58	3.II	NIE	Traces e ₁ /P/z e ₁ z	14 54 23,7 46,2
	KRA /SKM/	$\Delta=78,8^{\circ}$. Traces eP ePcP	18 26 58 27 11	3.II	NIE	Grèce, USCGS: 38,5 ^O N, 21,8 ^O E, H=18 ^h 28 ^m 13,9 ^S , h=53 km; mb=4,4 /USCGS/ $\Delta=10,7^{\circ}$. Traces eP ePP ePPP e ₁	18 30 52,3 31 04 15 26
3.II	KRA /Ch/	Traces eP	04 46 16	3.II	NIE	Iles Mariannes, USCGS: 18,0 ^O N, 146,9 ^O E, H=19 ^h 48 ^m 08,7 ^S , h=40 km; mb=5,3 /USCGS/ $\Delta=98,1^{\circ}$. Traces iP iPP	20 01 42,3 05 43
3.II	NIE	Sicile, USCGS: 38,7 ^O N, 14,1 ^O E, H=04 ^h 53 ^m 34,6 ^S , h normale; mb= 4,5 /USCGS/ $\Delta=11,4^{\circ}$ eP iPPP	04 56 24 41	4.II	NIE	Traces eP	05 32 05
3.II	KRA /SKM/	Région des Iles Fidji, USCGS: 17,9 ^O S, 178,8 ^O W, H=06 ^h 07 ^m 34,0 ^S h=598 km; mb=5,1 /USCGS/ $\Delta=144,8^{\circ}$. Traces ePKP ₁ Z: 0,7 ^S ; 0,033 μ	06 26 05,4 C	4.II	KRA /SKM/	Local e ₁ Pg _{NZ}	13 20 57,9

Date	Station	Phase	G.M.T. h m s	Date	Station	Phase	G.M.T. h m s	
4. II	KRA	e ₁ NZ	13 21 03,2	4. II	KRA	i	15 46 00	
/suite/		i ₁ EZ	13,2	/SKD/		i	52 41	
		F	40			iS	55 57	
4. II						i	16 01,0	
	NIE					i	05,6	
		e/P/	14 00 12,3			i	08,0	
		i	25,3			✓ Lm	16,6	
		i	39,8				NEZ: 40 ^S ; 92,7μ, 46,3μ, 38,7μ	
4. II		Sicile, USCGS: 38,8 ^O N, 14,3 ^O E, H=14 ^h 15 ^m 41,0 ^S , h normale; mb= 4,4 /USCGS/		RAC		Δ = 83,5 ^O		
	NIE	Δ = 11,2 ^O		/SK/		eP	15 45 51	
		eP	14 18 24	/M/		e ₁ SKS	56 16	
		ePPP	45	5. II				
4. II		Sumatra USCGS: 0,6 ^O N, 98,8 ^O E, H=15 ^h 33 ^m 28,6 ^S , h normale; mb= 6,3 /USCGS/, mPV=6,2 /Niedzica/ 6,0 /Kraków/, MLH=6,9 /Kraków/ Δ = 81,9 ^O			NIE		eP	02 24 33
	WAR			5. II				
	/SKD/	iP	15 45 46 D			Région des Iles de la Reine, Charlotte, USCGS: 51,8 ^O N, 130,8 ^O W, H=07 ^h 33 ^m 29,1 ^S , h normale; mb=5,1 /USCGS/ Δ = 75,8 ^O		
		iPP	48 52		KRA			
		iPPP	50 54		/SKM/		eP	07 45 13
		i	52 42		NIE			
		iS	55 54			Δ = 76,5 ^O		
			NE: 16 ^S ; 400μ, 800μ			eP	07 45 17	
		iScS	56 34			e ₁	22	
		i	57 38	5. II				
		eL	16 05,7			Yunnan, Chine, USCGS: 25,2 ^O N, 99,4 ^O E, H=09 ^h 10 ^m 35,7 ^S , h nor- male, mb=5,3 /USCGS/ Δ = 64,3 ^O		
	NIE				NIE			
		Δ = 82,0 ^O				iP	09 21 10,8 C	
		iP	15 45 46,0 D			epP	21	
			Z: 0,9 ^S ; 0,156μ		KRA			
		i	50		/SKM/		eP	09 21 11
		iPcP	58		/SKD/		eL	45,1
		i	46 12			✓ Lm	46,6	
		i	31				NZ: 30 ^S ; 3,7μ, 1,4μ	
		i	48 33		KSP			
		iS	55 56			Δ = 66,6 ^O		
		iScS	56 31			e ₁ P	09 21 25	
	KRA			5. II				
	/SKM/					Local		
		Δ = 82,3 ^O			KSP			
		e ₁ P	15 45 48,2 D			iPg _Z	10 00 20	
			Z: 1,1 ^S ; 0,138μ			iSg _Z	34	
		i	52			F	01	
		iPcP	56					

Date	Station	Phase	G.M.T. h m s	Date	Station	Phase	G.M.T. h m s					
6. II	Iles Kouriles, USCGS: 44,0°N, 147,9°E, H=00 ^h 58 ^m 42,7 ^s , h=100 km mb=4,5 /USCGS/ KRA /SKM/	Δ=76,1°. Traces eP	01 10 21	6. II	NIE	e i	18 26 57 27 24					
			NIE				Δ=76,5° eP	01 10 22,	KRA /SKM/	eP	18 26 55	
								KSP			eP	18 26 56
6. II	Détroit des Moluques, USCGS: 2,2°N, 126,9°E, H=08 ^h 17 ^m 48,6 ^s , h normale; mb=5,6 /USCGS/ NIE	Δ=99,1° eP	08 31 29	6. II	NIE	Traces eP	18 27 09 21 05 01					
			KRA /SKM/				Δ=99,2°. Traces eP	08 31 29	6. II	Région de l'Hindou-Kouch, USCGS: 36,0°N, 69,9°E, H=22 ^h 12 ^m 44,8 ^s , h=109 km; mb=5,0 /USCGS/ NIE	Δ=38,1° 1P ei eiPP	22 19 55,6 C 20 04 21 25
								KSP				Δ=76,0° eiP
6. II	Iles Kouriles, USCGS: 47,0°N, 154,1°E, H=10 ^h 43 ^m 05,5 ^s , h=60 km; mb=5,6 /USCGS/, mPV=5,5 /Nie- dzica/, 5,7 /Książ/ KRA /SKM/	Δ=75,6° eiP	10 54 45	7. II	Iles Andreanov, Aléoutiennes, USCGS: 51,4°N, 176,7°W, H=02 ^h 29 ^m 28,2 ^s , h=50 km; mb=6,0 /USCGS/ MLH=7,0 /Kraków/ WAR /SKS/	Δ=75,6° 1P ePoP 1S 1ScS eL Lm	02 41 20 42 40 51 00 33 55,7 03 16,2					
			NIE				Δ=76,2° 1P	10 54 46,9 C	KSP	Δ=77,5° eiP ei ei ipP i	02 41 21 23 29 42 48	
								Z: 0,7 ^s ; 0,049μ			Z: 0,8 ^s ; 0,029μ	NE: 20 ^s ; 400μ, 630μ
6. II	Italie Centrale, BCIS: 42,4°N, 11,9°E, H=18 ^h 09 ^m 08 ^s ; M=4,5 /Roma/ KSP	Δ=9,0° e/P/ eSS	18 11 17 13 20	KRA /SKM/	Δ=78,2° eP iPoP ei	02 41 23 34 42 02						
			NIE			Δ=9,0° eP	18 11 24	6. II	NIE	eP	18 26 48	

Date	Station	Phase	G.M.T. h m s	Date	Station	Phase	G.M.T. h m s
7. II	KRA	e1PP	02 44 35	7. II		49,3 ^B , h normale; mb=4,9 /USCGS/	
/suite/		e1PPP	46 27		NIE	$\Delta = 78,3^{\circ}$	
		e1S	51 24			eP	03 02 50
		mS	32				
		N: 16 ^B ; 72 μ		7. II		Iles Andreanov, Aléoutiennes,	
		1pPS	52 48			USCGS: 51,2 ^O N, 176,9 ^O W, H=02 ^h 53 ^m	
		1sSS	56,8			09,1 ^B , h normale; mb=5,4 /USCGS/	
		1SSS	03 00,1		NIE	$\Delta = 78,9^{\circ}$	
		ei	03 06 47			1P	03 05 08,7
		Lm	17,1	7. II		Iles Andréanov, Aléoutiennes,	
		NEZ: 22 ^B ; 76,9 μ , 42,6 μ , 90,3 μ				USCGS: 51,2 ^O N, 177,0 ^O W, H=03 ^h	
	RAC	$\Delta = 78,3^{\circ}$				19 ^m 12,2 ^B , h=28 km; mb=5,2	
	/SK/	eP	02 41 25		NIE	$\Delta = 78,9^{\circ}$	
		ePoP	34			eP	03 31 14
		epP	42	7. II		Iles Andreanov, Aléoutiennes,	
	NIE	$\Delta = 78,8^{\circ}$				USCGS: 51,1 ^O N, 177,0 ^O W, H=03 ^h	
		eP	02 41 26 D			20 ^m 59,9 ^B , h=43 km; mb=5,4	
		1	31		KRA	$\Delta = 78,3^{\circ}$	
		1PoP	35		/SKM/	e1P	03 32 56,1 D
		1pP	44			NIE	$\Delta = 79,0^{\circ}$
		1	51			eP	03 33 00
		e1PP	44 39	7. II		Dodécanèse, USCGS: 36,1 ^O N,	
		e1pPP	45 02			28,1 ^O E, H=04 ^h 59 ^m 44,5 ^B , h=22 km;	
7. II		Iles Andreanov, Aléoutiennes,			NIE	$\Delta = 14,2^{\circ}$. Traces	
		USCGS: 51,2 ^O N, 177,1 ^O W, H=02 ^h 42 ^m				eP	05 03 15
		04,5 ^B , h=49 km; mb=5,8 /USCGS/,			KSP	$\Delta = 17,1^{\circ}$	
		mPV=5,2 /Niedzica/				eP	05 03 46
	KSP	$\Delta = 77,7^{\circ}$		7. II		Région des Iles Kermadec,	
		eP	02 53 56			USCGS: 27,5 ^O S, 175,2 ^O W, H=16 ^h	
	KRA	$\Delta = 78,3^{\circ}$				50 ^m 01,4 ^B , h normale; mb=5,2	
	/SKM/	1P	02 53 59,6 C		NIE	$\Delta = 155,3^{\circ}$	
		1	54 03			ePKP ₁	17 09 55
	RAC	$\Delta = 78,5^{\circ}$				e	10 04
	/SK/	eP	02 54 01			e1PKP ₂	19
		ePoP	10		KSP	$\Delta = 155,1^{\circ}$	
	NIE	$\Delta = 78,9^{\circ}$				ePKP ₁	17 10 03
		1P	02 54 02,2 D				
		Z: 1,0 ^B ; 0,021 μ					
		1	05				
7. II		Iles Andreanov, Aléoutiennes,					
		USCGS: 51,1 ^O N, 177,1 ^O W, H=02 ^h 50 ^m					

Date	Station	Phase	G.M.T. h m s	Date	Station	Phase	G.M.T. h m s
8. II	KRA	Traces		8. II	KRA	1	21 23 33,1
	/Ch/	eP	01 16 16,4			1	36,3
		e1	29,4		/SKD/	1PP	25 38
						Lm	22 09,1
						NEZ: 33 ^S ; 13,7 μ , 13,3 μ , 20,9 μ	
8. II		Iles Andreanov, Aléoutiennes, USCGS: 51,3 ^N , 178,8 ^W , H=02 ^h 29 ^m 11,4 ^S , h=44 km; mb=5,2 /USCGS/ KSP $\Delta=77,4^{\circ}$. Traces			WAR	$\Delta=131,9^{\circ}$	
		eP	02 41 01		/SKD/	1PKP	21 23 30 C
	NIE	$\Delta=78,6^{\circ}$		9. II		Près de la côte S de Hondo, Japon, USCGS: 34,2 ^N , 140,1 ^E , H=09 ^h 44 ^m 20,8 ^S , h=41 km; mb=4,8 /USCGS/	
		iP	02 41 09		NIE	$\Delta=81,3^{\circ}$	
8. II		Local				e1P	09 56 33
	KRA					e1PcP	46,8
	/SKM/	ePg _Z	12 33 41,3		KSP	$\Delta=81,9^{\circ}$	
		e _{EZ}	45,3			e1P	09 56 37,5
		F	34 10	9. II		Californie, USCGS: 34,4 ^N , 118,4 ^W , H=14 ^h 00 ^m 41,6 ^S , h=13 km; mb=6,2 /USCGS/, MLH=6,5 /Kraków/, mPV=6,1 /Kraków/, 5,8 /Niedzica/ KSP $\Delta=86,2^{\circ}$	
8. II		Iles Riou-Kiou, USCGS: 26,2 ^N , 129,4 ^E , H=19 ^h 15 ^m 04,6 ^S , h=38 km; mb=4,6 /USCGS/				1P	14 13 23,6
	KSP	$\Delta=83,3^{\circ}$				1PcP	34
		eP	19 27 30			1	52
		epP	41			e1	16 38
8. II		Iles Sud Shetland, USCGS: 63,3 ^S , 61,6 ^W , H=20 ^h 37 ^m 48,7 ^S , h normale; mb=5,3 /USCGS/				1	43
	KRA	$\Delta=129,5^{\circ}$				1PP	51
	/SKM/	ePKP	20 56 55			eL	48
		e	57 03			Lm	55
						NEZ: 15 ^S ; 0,5 μ , 0,5 μ , 0,5 μ	
8. II		Iles Sud Shetland, USCGS: 63,5 ^S , 61,2 ^W , H=21 ^h 04 ^m 21,8 ^S , h normale; mb=6,3 /USCGS/			WAR	$\Delta=86,7^{\circ}$	
	NIE	$\Delta=129,1^{\circ}$			/SKD/	1P	14 13 24 D
		ePKP	21 23 25			e1S	24 19
		1	31		KRA	$\Delta=88,4^{\circ}$	
		e1PP	25 39		/SKM/	1P	14 13 33,2
	KSP	$\Delta=129,1^{\circ}$				Z: 1,0 ^S ; 0,162 μ	
		ePKP	21 23 26		/SKD/	ePP	17 03
		e1	50			eS	24,2
		e1PP	25 45,5			1	30,6
	KRA	$\Delta=129,5^{\circ}$				e	34,5
	/SKM/	ePKP	21 23 26,8			1L	42,3
						Lm	44,1
						NEZ: 45 ^S ; 51,1 μ , 10,4 μ , 33,9 μ	

Date	Station	Phase	G.M.T. h m s		Date	Station	Phase	G.M.T. h m s
9. II	NIE	$\Delta = 89,1^\circ$			10. II		Local	
/suite/		1P	14 13 36	C		KSP	Traces	
		Pm	38				e_N	12 45 35
		Z: $1,1^S$; $0,072\mu$					e_{NZ}	37
		1PcP	47				e_{EZ}	40
		1	56				F	47
		1	16 47		10. II		Région frontière de URSS-Afghani-	
		✓ Lm	56 14				stan, USCGS: $38,7^\circ N$, $70,6^\circ E$, H=	
		Z: 17^S ; $40,0\mu$					$23^h 31^m 42,9^S$, h=30 km; mb=4,8	
		✓ Lm	18				/USCGS/	
		N: 18^S ; $20,0\mu$				NIE	$\Delta = 37,1^\circ$	
9. II		S Californie, USCGS: $34,3^\circ N$,					eP	23 38 52
		$118,3^\circ W$, H= $15^h 58^m 20,7^S$, h=14 km;				KRA	$\Delta = 37,3^\circ$	
		mb=5,1 /USCGS/				/SKM/	1P	23 38 56,6 C
	NIE	$\Delta = 89,1^\circ$			11. II		Région frontière URSS-Iran, USCGS:	
		eP	16 11 16				$38,3^\circ N$, $46,9^\circ E$, H= $01^h 41^m 29,0^S$,	
9. II							h=48 km; mb=4,1 /USCGS/	
	NIE					NIE	$\Delta = 21,9^\circ$	
		e1P	20 58 18,8	C			eP	01 46 21,8
9. II							e1	31,8
		Péloponèse, Grèce, BCIS:				KSP	$\Delta = 24,9^\circ$	
		$37,9^\circ N$, $22,7^\circ E$, H= $21^h 20^m 33^S$,					eP	01 46 49
		ML=4,2 /Athènes/			11. II			
	NIE	$\Delta = 11,4^\circ$				NIE	Traces	
		eP	21 23 19				eP	11 24 16,9
9. II					11. II		Local	
	NIE					KRA		
		1P	22 04 44,8	D		/SKM/	$e_{NE, 1Z}^P$	12 16 45,3 C
		Pm	46				e_{1Z}	53,8
		Z: $0,9^S$; $0,019\mu$					F	17 10
	KSP				11. II			
		1P	22 04 45			KRA	e1/P/	12 52 27,6
10. II		Local			11. II		Iles Andreanov, Aléoutiennes,	
	KRA					/SKM/	USCGS: $51,2^\circ N$, $177,2^\circ W$, H= $12^h 55^m$	
	/SKM/	eP _E	12 17 25,5				$53,8^S$, h=50 km; mb=5,5 /USCGS/	
		e _Z	30,0				mPV=5,0 /Niedzica/	
		F	45			KRA	$\Delta = 78,3^\circ$.	
10. II		Local				/SKM/	1P	13 07 48,6
	KRA							
	/SKM/	e/P/EZ	12 42 24,0					
		e _{1EZ}	28,5					
		F	45					

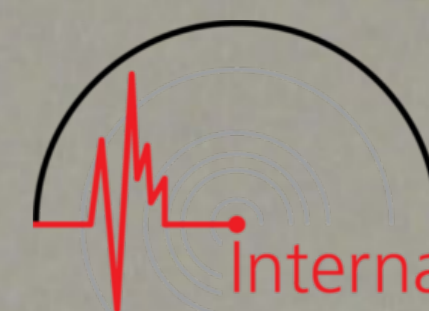
Date	Station	Phase	G.M.T. h m s	Date	Station	Phase	G.M.T. h m s
11. II	NIE	$\Delta = 78,9^\circ$ iP	13 07 51,9	12. II	MLH=3,6 /Pruhonicé/ NIE	$\Delta = 6,8^\circ$ eP	03 30 45
/suite/		Z: $1,0^B$; $0,014\mu$				e1PP	53
		iPoP	08 03			e1P ^K	31 03
		i	09			e1Pg	25
11. II		Iles Kouriles, USCGS: $43,4^\circ N$, $146,5^\circ E$, $H=13^h 57^m 49,7^s$, $h=$ 40 km; $mb=4,5$ /USCGS/ NIE		12. II	KSP	$\Delta = 8,9^\circ$. Traces eP	03 31 16,5
		$\Delta = 76,5^\circ$		12. II		Italie, BCIS: $43^\circ 09' N$, $12^\circ 33' E$, $H=04^h 54^m 56^s$; $MLV=4,4$ /Wien/ NIE	
		iP	14 09 36,1 C			$\Delta = 8,3^\circ$ eP	04 56 58
		ipP	48			e1PP	57 05
		iPoP	53			ei	38
11. II		Local NIE				e	58 24
		e1/Pg/Z	15 51 36			e1Sn	35
		e1NZ	50			e1SS	48
		e1z	54,6	12. II		Iles Andreanov, Aléoutiennes, USCGS: $51,3^\circ N$, $179,1^\circ W$, $H=05^h$ $16^m 35,7^s$, $h=40$ km; $mb=4,8$ /USCGS/ NIE	
		F	52 20			$\Delta = 78,6^\circ$ eP	05 28 34
11. II		Italie, USCGS: $43,2^\circ N$, $12,6^\circ E$, $H=18^h 49^m 20,2^s$, $h=4$ km; $mb=4,9$ /USCGS/ NIE		12. II		Italie, BCIS: $43^\circ 11' N$, $12^\circ 31' E$, $H=05^h 31^m 16^s$; $MLV=3,8$ /Wien/ NIE	
		$\Delta = 8,0^\circ$				$\Delta = 8,1^\circ$ ePn	05 33 20
		eP	18 51 13			ePP	30
		ePPP	34			eSn	35 05
		ei	53 10			KSP	
		KSP				$\Delta = 8,2^\circ$ eSn	05 34 56
		$\Delta = 8,1^\circ$				eSSS	35 12
		eP	18 51 19			e	43
		ePP	26			eSg	52
		ePg	52 04	12. II		Yougoslavie, BCIS: $44,1^\circ N$, $17,1^\circ E$, $H=07^h 48^m 04^s$; $MLV=4,6$ /Wien/ RAC	
		e	31			$\Delta = 5,8^\circ$ ePn	07 49 29
		eSS	53 03			NIE	
		eSSS	15,5			$\Delta = 5,5^\circ$ iPn	07 49 32 D
		e	44			Z: $0,9^B$; $0,015\mu$	
		NEZ: $1,5^B$; $7,0\mu$, $7,0\mu$, $6,0\mu$					
11. II		Sumatra, USCGS: $4,6^\circ S$, $102,4^\circ E$, $H=22^h 38^m 53,3^s$, $h=104$ km; $mb=$ $4,8$ /USCGS/ NIE		12. II		Yougoslavie, BCIS: $44,1^\circ N$, $17,1^\circ E$, $H=07^h 48^m 04^s$; $MLV=4,6$ /Wien/ RAC	
		$\Delta = 88,3^\circ$				$\Delta = 5,8^\circ$ ePn	07 49 29
		eP	22 51 26			NIE	
		eipP	53			$\Delta = 5,5^\circ$ iPn	07 49 32 D
12. II		Yougoslavie-Albanie, BCIS: $42,4^\circ N$, $20,2^\circ E$, $H=03^h 29^m 03^s$,				Z: $0,9^B$; $0,015\mu$	

Date	Station	Phase	G.M.T. h m s	Date	Station	Phase	G.M.T. h m s
12. II	NIE	iPP	07 49 36	12. II	NIE	$\Delta = 118,0^\circ$	
/suite/		iPPP	47			e1PKP	19 25 29
		i	50 23			Z: 1,2 ^B ; 0,012 μ	
		iSn	30			e	40,5
		iS ^M	50			e1	26 04
	KRA	$\Delta = 6,0^\circ$		12. II			
	/SKM/	ePn	07 49 38		NIE		
		e1	39			e1/P/	19 36 30
		e1PPP	52			e1	37
	/GW/	iS	50 46	12. II		N Célèbes, USCGS: 1,5 ^o N, 121,3 ^o E,	
		i	51 44			H=23 ^h 33 ^m 17,1 ^s , h=66 km; mb=5,4	
	KSP	$\Delta = 6,8^\circ$				/USCGS/	
		eP	07 49 41			$\Delta = 96,0^\circ$	
		e1	44			eP	23 46 39
		iPP	54	13. II			
		iPg	50 21		NIE		
		i	53			e1P	01 48 37
		iSn	51 07	13. II			
		iSn	09		NIE		
		iSSS	26			eP	09 44 00
		e1Sg	44			e	19
		e1	52 34	13. II			
12. II		Local			KSP	Local	
	KSP					Traces	
		iP _{NEZ}	10 50 16			e _{NZ}	12 37 50
		iS _{NEZ}	19,5			e _Z	55
		i _Z	24			F	39
		F	51	13. II			
12. II		Local				Région des Iles Loyauté,	
	KSP	Traces				USCGS: 22,8 ^o S, 170,9 ^o E, H=23 ^h	
		i _{NEZ}	12 03 19,8			35 ^m 09,1 ^s , h=30 km; mb=5,0	
		F	04			/USCGS/	
12. II		Local			NIE	$\Delta = 144,9^\circ$. Traces	
	KSP					iPKP ₁	23 54 45 C
		e1Pg _Z	13 24 46,5			Z: 1,0 ^S ; 0,009 μ	
		e1 _Z	53			i	55 00
		e1Sg _{NEZ}	58			RAC	$\Delta = 145,5^\circ$
		F	26		/SK/	ePKP ₁	23 54 46
12. II		Région Est de la Nouvelle Guinée,		14. II			
		USCGS: 6,2 ^o S, 146,9 ^o E, H=19 ^h 06 ^m				Région des Iles Fidji, USCGS:	
		53,6 ^S , h=113 km; mb=5,7 /USCGS/				15,8 ^o S, 177,5 ^o W, H=06 ^h 02 ^m 29,0 ^S ,	
						h=429 km; mb=4,7 /USCGS/	

Date	Station	Phase	G.M.T. h m s	Date	Station	Phase	G.M.T. h m s
14. II	NIE	$\Delta = 143,7^\circ$ e1PKP ₁ e	06 21 13 36	15. II	KSP	Local 1P _{NEZ} Z: 0,7 ^S ; 0,08 μ	04 03 53
14. II	NIE	eP ei	07 01 35 42,5	15. II		e1S _Z F	04 00 05
14. II	NIE	Iran, USCGS: 36,6 ^o N, 55,6 ^o E, H=16 ^h 27 ^m 36,1 ^s , h=39 km; mb=5,2 /USCGS/, mPV=4,9 /Niedzica/, 5,3 /Kraków/ $\Delta = 28,5^\circ$ e1P Z: 1,0 ^S ; 0,025 μ	16 33 21,2 D 30 40 50 34 42	15. II	RAC /SK/	Sud des Iles Fidji, USCGS: 25,2 ^o S, 178,3 ^o E, H=07 ^h 51 ^m 02,6 ^s , h=584 km; mb=5,7 /USCGS/ $\Delta = 150,9^\circ$ ePKP ₁ 1PKP ₂	08 09 42 10 03
	KRA /Ch/	$\Delta = 28,9^\circ$ e1P Pm Z: 1,0 ^S ; 0,056 μ	16 33 33,7 C 35,2		NIE	$\Delta = 150,6^\circ$ e1PKP ₁ Z: 0,9 ^S ; 0,015 μ	08 09 42,5 D 49
	/SKD/	e	38,4			1PKP ₂ 1 1	10 03 30 11 25
	RAC /SK/	$\Delta = 30,0^\circ$ eP ePP	16 33 44 34 43	15. II	KSP	$\Delta = 150,9^\circ$ e1PKP ₁ 1 1PKP ₂	08 09 42,5 51 59
14. II	NIE	Région des Iles Fidji, USCGS: 20,8 ^o S, 178,7 ^o W, H=19 ^h 52 ^m 19,7 ^s , h=610 km; mb=4,2 /USCGS/ $\Delta = 147,9^\circ$ ePKP ₁ ePKP ₂	19 50 58 51 03	15. II	NIE	1P Z: 0,8 ^S ; 0,05 μ	08 15 59,5 C 16 09
15. II	NIE	Région des Iles Fidji, USCGS: 17,7 ^o S, 178,5 ^o W, H=03 ^h 45 ^m 18,4 ^s , h=579 km; mb=4,5 /USCGS/ $\Delta = 144,7^\circ$ 1PKP ₁	04 03 51,1 C	15. II	NIE	$\Delta = 12,0^\circ$ e1P e1PPPP	08 22 53 23 18
	KRA /SKM/	$\Delta = 144,7^\circ$ 1PKP ₁	04 03 51,1 C	15. II	KSP	Local 1P _{GEZ} 1S _{GZ} F	14 32 13 18 33
	NIE	$\Delta = 145,1^\circ$ 1P Z: 0,8 ^S ; 0,067 μ	04 03 52,8 D	15. II	NIE	1P Z: 0,8 ^S ; 0,030 μ	15 39 36 C
	ei		59				

Date	Station	Phase	G.M.T. h m s	Date	Station	Phase	G.M.T. h m s
15.II	NIE	i	15 39 44	16.II	RAC	$\Delta = 80,5^\circ$	
/suite/		i	54	/SK/	e1P		14 38 20
16.II		Région des Iles Riou-Kiou, USCGS: 23,9 ^o N, 123,4 ^o E, H=01 ^h 31 ^m 12,9 ^s , h=29 km; mb=5,0 /USCGS/		KSP	$\Delta = 81,1^\circ$		14 38 22
KRA		$\Delta = 80,3^\circ$. Traces		17.II		Près de la côte de Hondo, Japon, USCGS: 40,2 ^o N, 142,3 ^o E, H=05 ^h 13 ^m 00,6 ^s , h=48 km; mb=5,3 /USCGS/ mPV=5,1 /Niedzica/	
/SKM/		eP	01 43 22,1	KRA	$\Delta = 77,1^\circ$		
KSP		$\Delta = 82,0^\circ$. Traces		/SKM/	iP		05 24 50,3
16.II		Local			ePcP		25 03
KSP				NIE	$\Delta = 77,4^\circ$		
		iP _{NEZ}	08 15 10	iP			05 24 52 C
		i _{NEZ}	12	Pm			53
		i _{SNEZ}	13			Z: 1,1 ^s ; 0,019 μ	
		NEZ: 0,2 ^s ; 0,09 μ , 0,09 μ , 0,08 μ		iPcP			25 05
		i _Z	25	i			33
		F	16	KSP	$\Delta = 77,8^\circ$		
16.II		Local		e1P			05 24 54
KRA				ei			58
/SKM/		eP _{EZ}	12 35 47,7	e			27 40
		ei _{NEZ}	51,7	17.II		N de Sumatra, USCGS: 0,5 ^o N, 98,7 ^o E, H=07 ^h 05 ^m 08,1 ^s , h=66 km; mb=5,2 /USCGS/, mPV=5,4 /USCGS/	
		F	36 10	NIE	$\Delta = 82,0^\circ$		
16.II		Local		iP			07 17 23 D
KSP						Z: 0,9 ^s ; 0,027 μ	
		eP _{GEZ}	13 50 59,5	e			30
		ei _{SgNEZ}	51 12	e			42
		F	52	KRA	$\Delta = 82,4^\circ$		
16.II		Région de Formose, USCGS: 24,0 ^o N, 122,2 ^o E, H=14 ^h 26 ^m 09,1 ^s , h=32 km; mb=5,8 /USCGS/, mPV=6,1 /Kraków/		/SKM/	e1		07 17 24,4
KRA		$\Delta = 79,5^\circ$		17.II			
/SKM/		eP	14 38 13 C	KSP	Traces		
		Z: 1,0 ^s ; 0,204 μ		e			09 59 49
/SKD/		eS	48,2	e			57
		e	57,3	17.II		Local	
		eL	15 01	NIE			
		✓ Lm	08,3	e1/Pg/Z			13 04 12
		NE: 30 ^s ; 3,5 μ , 1,1 μ		e1/Sg/N			20
NIE		$\Delta = 79,5^\circ$		i _Z			22
		iP	14 38 14	F			05,0
		iPcP	23				
		i	31				
		i	39 00				

Date	Station	Phase	G.M.T. h m s	Date	Station	Phase	G.M.T. h m s
17.II	KSP	Pologne, Basse Silésie		18.II	KRA	ei _{NEZ}	12 32 52,7
		eiPg _Z	13 46 20,5	18.II	NIE	eP	14 23 50,1 C
		ei _{EZ}	22			Z: 0,7 ^S ; 0,015 μ	
		eiS _{NEZ}	28			e	24 05
		F	47	18.II	NIE	Traces	
17.II	NIE	iP	14 38 50 D			eiP	15 29 30
		Z: 0,9 ^S ; 0,014 μ		18.II			
		i	53			Allemagne, USCGS: 50,9 ^O N, 6,0 ^O E,	
18.II	KRA	Région Nord du Spitzberg, USCGS:				H=23 ^h 41 ^m 24,4 ^S , h=27 km; mb=4,2	
	/SKM/	84,0 ^O N, 1,5 ^O W, H=03 ^h 05 ^m 19,6 ^S ,				/USCGS/	
		h normale; mb=4,9 /USCGS/			KSP	$\Delta = 6,5^{\circ}$	
		$\Delta = 34,8^{\circ}$				eiP	23 42 55
	/SKD/	eP	03 12 06			ei	43 02
		i	09			iPg	25
		i	13			iS ^X	44 36
	NIE	eS	17 39			Lm	45,0
		$\Delta = 36,0^{\circ}$				NZ: 1,0 ^S ; 0,10 μ , 0,12 μ	
		eP	03 12 12 C		NIE	$\Delta = 9,4^{\circ}$	
		i	15			i/L/	23 46 28
		e	26			i	37
		e	13 31	19.II		Pologne, région de Wałbrzych	
18.II	KSP	Pologne, région de Wałbrzych			KSP	iP _{NEZ}	07 13 14,5
		iP _{NEZ}	07 21 57			iS _{NEZ}	18
		i _{NEZ}	59			iL _{NEZ}	32
		iS _{NEZ}	22 01			NZ: 0,4 ^S ; 0,10 μ , 0,12 μ	
		F	23			i _Z	59,5
18.II	KSP	Local				F	15
		Traces		19.II			
		eiP _{NZ}	10 29 40		NIE	iP	07 13 34
		F	30			ei	15 15
18.II	KSP	Local		19.II			
		Traces			NIE	eiP	07 27 46,7 C
		eiP _{NEZ}	11 25 02			Z: 0,6 ^S ; 0,036 μ	
		ei _N	22			i	51
		F	26			i	57
18.II	KRA	Local					
	/SKM/	eP _E	12 32 43,2				



Date	Station	Phase	G.M.T. h m s	Date	Station	Phase	G.M.T. h m s
19.II	KRA /SKM/	Traces iP	09 51 11,8 C	20.II	KRA	ei	12 47 44
19.II	KSP	Pologne, région de Wałbrzych iP _{NEZ} F	10 58 47 59	20.II	NIE	$\Delta = 35,4^\circ$ eP e	12 47 44 49
19.II	NIE	eP	14 38 43	20.II	NIE	eP	20 39 49
19.II	NIE	eP e	20 46 50 D 47 00	21.II	NIE	eP	00 04 33
20.II	NIE	Turquie méridionale, BCIS: 37,7°N, 29,2°E, H=07 ^h 15 ^m 21 ^s ; ML=4,8 /Athènes/ $\Delta = 13,1^\circ$ eP ei	07 18 29 37	21.II	KSP	Iles Tonga, USCGS: 20,5°S, 173,4°W, H=03 ^h 04 ^m 39,3 ^s , h norma- le; mb=5,0 /USCGS/ $\Delta = 148,8^\circ$. Traces ePKP ₁ NIE ePKP ₁ ePKP ₂ i	03 24 23 03 24 28 33 43
20.II	KSP	$\Delta = 16,0^\circ$. Traces eP	07 19 16	21.II	NIE	Sud des Iles Fidji, USCGS: 23,8°S, 180,0°W, H=03 ^h 20 ^m 20 ^s , h=512 km; mb=5,2 /USCGS/ $\Delta = 149,7^\circ$ 1PKP ₁ NIE 1PKP ₁ Z: 1,1 ^s ; 0,020 μ 1PKP ₂ ei	03 39 11 03 39 12,9 D 21 41 17
20.II	KRA /SKM/	Au Nord du Spitzberg, USCGS: 83,8°N, 2,0°W, H=09 ^h 52 ^m 41,7 ^s , h normale; mb=4,2 /USCGS/ $\Delta = 34,7^\circ$. Traces eiP	09 59 31	21.II	NIE	e/P/	05 12 54
20.II	KRA /SKM/	Local e/P/Z ei _N F	10 51 44,3 53,8 52 20	21.II	NIE	Région frontière du Chili- Argentine, USCGS: 23,8°S, 67,2°W, H=10 ^h 35 ^m 20,1 ^s , h=169 km; mb=6,3 /USCGS/ $\Delta = 106,0^\circ$ eP ei e 1PP	10 49 15 52 14 53 28 41
20.II	NIE	eP	12 38 14				
20.II	KRA /SKM/	Au Nord du Spitzberg, USCGS: 83,9°N, 1,6°W, H=12 ^h 40 ^m 51,7 ^s , h normale; mb=4,7 /USCGS/ $\Delta = 34,7^\circ$ eiP	12 47 38,5 D				

Date	Station	Phase	G.M.T. h m s	Date	Station	Phase	G.M.T. h m s
21. II	KRA /suite/ /SKD/	e	10 54 34	21. II	KRA	$\Delta = 76,1^\circ$	
		1SKS	59 41		/SKM/	eP	18 43 07
		e	11 00 26			e1PoP	13
		i	02 40			e	35
		NEZ: $16^S; 18^S; 18^S; 15\mu, 18\mu, 41\mu$			NIE	$\Delta = 76,4^\circ$	
		i	04,1			eP	18 43 09
		i	08,4			iPoP	16
		eL	13		KSP	$\Delta = 76,8^\circ$. Traces	
	NIE	$\Delta = 106,1^\circ$				eP	18 43 11
		eP	10 49 17			ePoP	17
		i	27	22. II			
		i	50 04		KRA		
		i	53 26		/SKM/	iP	09 07 11,0 D
	WAR	$\Delta = 107,5^\circ$				Z: $0,6^S; 0,035\mu$	
	/SK/	ePP	10 53 58	22. II		Local ?	
		i	11 02 44		KRA		
		i	05 56		/SKM/	e/P/EZ	12 44 27,3
		eL	10,5			^e EZ	31,8
21. II						F	50
	NIE			22. II		Turquie, méridionale, BCIS:	
		iP	11 04 48			$37,2^\circ N, 30,2^\circ E, H=14^h 27^m 44^s;$	
		Z: $1,3^S; 0,024\mu$				MLH=4,9 /Pruhonice/	
		i	05 09		NIE	$\Delta = 13,9^\circ$	
21. II		Kirghiz, URSS, USCGS: $40,8^\circ N,$				eP	14 31 05
		$72,6^\circ E, H=11^h 45^m 24,8^s, h$ normale				iPP	13
		mb=4,2 /USCGS/					
	NIE	$\Delta = 37,3^\circ$			KRA	$\Delta = 14,6^\circ$	
		eP	11 52 36 D		/SKM/	eP	14 31 13
		i	44			e	19
21. II		Région des Iles Philippines,			RAC	$\Delta = 15,3^\circ$	
		$19,4^\circ N, 121,1^\circ E, H=14^h 41^m 39,5^s,$			/SK/	eP	14 31 26
		h normale; mb=4,8 /USCGS/			KSP	$\Delta = 16,9^\circ$	
	KRA	$\Delta = 82,4^\circ$. Traces				eP	14 31 36
	/SKM/	eP	14 53 59	22. II		Détroit des Moluques, USCGS:	
						$2,2^\circ N, 126,9^\circ E, H=22^h 08^m 27,8^s,$	
	NIE	$\Delta = 82,3^\circ$				h normale; mb=5,1 /USCGS/	
		eP	14 54 00		NIE	$\Delta = 99,1^\circ$. Traces	
						eP	22 22 15
	KSP	$\Delta = 84,1^\circ$		23. II		Région de l'Ile Jan Mayen,	
		e1	14 54 08			USCGS: $72,3^\circ N, 5,9^\circ W, H=09^h 09^m$	
21. II		Hokkaido, Japon, USCGS: $41,6^\circ N,$				$24,4^S, h$ normale; mb=4,4 /USCGS/	
		$142,8^\circ E, H=18^h 31^m 20,4^s, h=27$ km					
		mb=4,9 /USCGS/					

Date	Station	Phase	G.M.T. h m s	Date	Station	Phase	G.M.T. h m s
23.II	NIE	$\Delta = 26,1^{\circ}$. Traces		23.II	KRA		
/suite/		eP	09 14 54	/SKD/	eL		19 46,5
23.II		Local			✓Lm		48,3
KRA						NEZ: 20° ; $14,6\mu$, $22,8\mu$, $7,0\mu$	
/SKM/	e/P/Z		13 41 00,4		ei		49 16
	ei _E		19,4	KSP	$\Delta = 13,7^{\circ}$		
	F		42 00		eP		19 44 35
NIE					eS		47 21
	ePg _Z		13 41 04,4		e		49 08
	e _Z		18,4	WAR	$\Delta = 13,4^{\circ}$		
	L _{NE}		38	/SKD/	✓eS		19 47,1
	F		42,0		✓Lm		50,0
						NE: 14° ; 295μ , 485μ	
23.II		Pologne, région de Wałbrzych		24.II		Iles Riou-Kiou, USCGS: $26,6^{\circ}$ N, $128,8^{\circ}$ E, $H=17^{\text{h}}25^{\text{m}}10,0^{\text{s}}$, $h=19$ km; mb=4,6 /USCGS/	
KSP					NIE	$\Delta = 81,4^{\circ}$	
	iP _{EZ}		14 50 46		eP		17 37 28
	i _{EZ}		48		eiPcP		37
	iS _{EZ}		50	24.II		Région des Iles Philippines, USCGS: $19,2^{\circ}$ N, $121,1^{\circ}$ E, $H=19^{\text{h}}$ $20^{\text{m}}16,8^{\text{s}}$, $h=39$ km; mb=4,6 /USCGS/	
	F		51		NIE	$\Delta = 82,5^{\circ}$. Traces	
23.II		Hondo, Japon, USCGS: $33,6^{\circ}$ N, $138,4^{\circ}$ E, $H=16^{\text{h}}03^{\text{m}}34,6^{\text{s}}$, $h=276$ km mb=4,9 /USCGS/			eP		19 32 38
KRA		$\Delta = 80,7^{\circ}$			eiPcP		45
/SKM/	eiP		16 15 17	KSP	$\Delta = 84,3^{\circ}$. Traces		
NIE		$\Delta = 80,9^{\circ}$			eiP		19 32 45
	iP		16 15 19,6 D		eiPcP		50
		Z: $1,0^{\text{s}}$; $0,019\mu$		24.II			
	iPcP		22	NIE			
KSP		$\Delta = 81,7^{\circ}$. Traces			eP		20 17 00
	eiP		16 15 22	24.II			
23.II		Anatolie occidentale, BCIS: $39,5^{\circ}$ N, $27,3^{\circ}$ E, $H=19^{\text{h}}41^{\text{m}}23^{\text{s}}$; MLH=6,0 /Bratislava/, $mPV=4,9$ /Kraków/			NIE		
NIE		$\Delta = 10,9^{\circ}$			eiP		20 28 55,4 C
	eiP		19 44 03 C		ei		29 03
	i		07	25.II			
	iPPP		14	NIE			
	iPPPP		36		eiP		01 24 26,4 D
	ei		51	25.II		Iles aux Renards, Aléoutiennes, USCGS: $52,1^{\circ}$ N, $169,5^{\circ}$ W, $H=06^{\text{h}}40^{\text{m}}$ $44,3^{\text{s}}$, $h=32$ km; mb=5,3 /USCGS/	
KRA		$\Delta = 11,6^{\circ}$					
/SKM/	iP		19 44 11,9 C				
		Z: $0,7^{\text{s}}$; $0,029\mu$					
	i		17				

Date	Station	Phase	G.M.T. h m s	Date	Station	Phase	G.M.T. h m s
25.II /suite/	KSP	mPV=5,3 /Kraków/, 5,1 /Niedzica/ $\Delta = 77,3^{\circ}$ eP	06 52 36	25.II	KSP	$\Delta = 78,7^{\circ}$ iP	19 39 52,2 D
	KRA /Ch/	$\Delta = 78,2^{\circ}$ eP	06 52 40	25.II		Région Nord de Sumatra, USCGS: 3,2 ^o N, 95,9 ^o E, H=22 ^h 14 ^m 17,7 ^s , h normale; mb=5,4 /USCGS/, mPV= 5,0 /Niedzica/	
		Z: 1,0 ^s ; 0,029 μ			NIE	$\Delta = 78,2^{\circ}$ iP	22 26 16,5 C
	NIE	$\Delta = 78,9^{\circ}$ eiP	06 52 44,0 D			Z: 0,9 ^s ; 0,013 μ	
		Z: 0,9 ^s ; 0,015 μ			KRA /SKM/	$\Delta = 78,5^{\circ}$ eiP	22 26 17,4 C
25.II	KRA /SKM/	Local e/P/E	14 12 50,2		/GW/	eS	36 16
		ei ¹ NE	53,2			eSKS	27
		F	13 25		RAC	$\Delta = 79,6^{\circ}$	
25.II		Mindanao, Philippines, USCGS: 5,9 ^o N, 126,7 ^o E, H=14 ^h 36 ^m 02,2 ^s , h=88 km; mb=5,6 /USCGS/			/SK/	eP	22 26 23
	KRA /SKM/	$\Delta = 96,2^{\circ}$ eiP	14 49 22,2 D		KSP	$\Delta = 80,9^{\circ}$ iP	22 26 29,5 C
	NIE	$\Delta = 96,2^{\circ}$ eiP	14 49 22			ePcP	33
		Z: 0,9 ^s ; 0,027 μ		26.II		Iles Salomon, USCGS: 10,4 ^o S, 161,3 ^o E, H=04 ^h 55 ^m 50,0 ^s , h=90 km; mb=5,9 /USCGS/	
	KSP	$\Delta = 98,1^{\circ}$ iP	14 49 30,5 D		NIE	$\Delta = 129,6^{\circ}$ eiPKP	05 14 49
		Z: 1 ^s ; 0,09 μ				eiPP	17 01
25.II		Région de Hondo, Japon, USCGS: 37,1 ^o N, 138,3 ^o E, H=19 ^h 27 ^m 53,0 ^s , h=40 km; mb=5,5 /USCGS/		26.II		Local	
	KRA /SKM/	$\Delta = 77,8^{\circ}$ eP	19 39 47		KRA /SKM/	e/P/Z	12 28 52,2
		iPcP	54			ei ¹ NZ	29 00,2
	/SKD/	eS	49 44			F	40
		eL	20 08,3	26.II		NIE	
	NIE	$\Delta = 78,1^{\circ}$ iP	19 39 49,0 C			eP	21 44 09,4
		iPcP	55			i	24,4
		ei	40 17		RAC		
	RAC /SK/	$\Delta = 78,5^{\circ}$ eP	19 39 52		/SK/	e	21 44 21
				27.II		Sud des Iles Fidji, USCGS: 22,2 ^o S, 179,6 ^o W, H=00 ^h 06 ^m 11,9 ^s , h=587 km; mb=5,0 /USCGS/	

Date	Station	Phase	G.M.T. h m s	Date	Station	Phase	G.M.T. h m s
27. II	NIE	$\Delta=148,8^{\circ}$ e1PKP ₁	00 24 54,9 D	27. II	KRA	1PKP ₂	05 03 23
/suite/		Z: 0,9 ^s ; 0,019 μ		27. II		Près de la côte Est de Hondo, Japon, USCGS: 38,3 ^o N, 141,9 ^o E, H=08 ^h 56 ^m 33,5 ^s , h=46 km; mb=5,1 /USCGS/, mPV=5,5 /Kraków/, 5,2 /Niedzica/	
	KSP	$\Delta=148,8^{\circ}$ 1PKP ₁	00 24 55 D		KRA	$\Delta=78,5^{\circ}$	
		ePKP ₂	25 01	/SKM/	e1P	09 08 30,1 C	
27. II		Région de Californie, USCGS: 40,4 ^o N, 124,8 ^o W, H=00 ^h 31 ^m 39,9 ^s , h normale; mb=5,3 /USCGS/			NIE	$\Delta=78,8^{\circ}$ 1P	09 08 32,4 C
	KRA	$\Delta=84,9^{\circ}$				Z: 1,0 ^s ; 0,021 μ	
/SKM/	eP	00 44 13			e1PcP	48	
	NIE	$\Delta=85,6^{\circ}$ eP	00 44 19	KSP	$\Delta=79,2^{\circ}$ 1P	09 08 35,7 C	
		1	27			Z: 0,7 ^s ; 0,04 μ	
27. II		Iles Kouriles, USCGS: 45,6 ^o N, 150,8 ^o E, H=02 ^h 26 ^m 41,8 ^s , h normale mb=5,1 /USCGS/, mPV=5,5 /Kraków/, 5,4 /Niedzica/		27. II		Région des Iles Fidji, USCGS: 21,4 ^o S, 177,9 ^o W, H=13 ^h 26 ^m 27,1 ^s , h=390 km; mb=5,0 /USCGS/	
	KRA	$\Delta=75,8^{\circ}$			KSP	$\Delta=148,6^{\circ}$ ePKP ₁	13 45 26
/SKM/	e1P	02 38 25,1 D				1PKP ₂	30
		Z: 0,6 ^s ; 0,027 μ				1	35
	NIE	$\Delta=76,2^{\circ}$ e1P	02 38 27,9		NIE	$\Delta=148,7^{\circ}$ ePKP ₁	13 45 28
		Z: 0,8 ^s ; 0,027 μ				1PKP ₂	35
27. II		Région des Iles Fidji, USCGS: 20,2 ^o S, 177,8 ^o W, H=04 ^h 44 ^m 35,0 ^s , h=524 km; mb=5,0 /USCGS/				1	48
	KSP	$\Delta=147,5^{\circ}$ ePKP ₁	05 03 17		KRA	$\Delta=148,3^{\circ}$	
		1PKP ₂	21	/SKM/	1PKP ₁	13 45 30	
		Z: 0,7 ^s ; 0,10 μ			1PKP ₂	34	
		1	25		RAC	$\Delta=148,9^{\circ}$	
	NIE	$\Delta=147,7^{\circ}$ ePKP ₁	05 03 18	/SK/	ePKP ₁	13 45 30	
		1PKP ₂	21				
		Z: 0,9 ^s ; 0,040 μ		27. II		Région Est de Hondo, Japon, USCGS: 40,7 ^o N, 143,5 ^o E, H=16 ^h 32 ^m 49,4 ^s , h=38 km; mb=5,2 /USCGS/, mPV=5,5 /Kraków/	
		e1	38		KRA	$\Delta=77,2^{\circ}$	
	RAC	$\Delta=147,8^{\circ}$		/SKM/	1P	16 44 40,4 C	
/SK/	ePKP ₁	05 03 19				Z: 1,2 ^s ; 0,055 μ	
	KRA	$\Delta=147,3^{\circ}$			ePcP	51	
/SKM/	1PKP ₁	05 03 19,6 D		/SKD/	eL	17 13,6	
		Z: 0,7 ^s ; 0,045 μ					

Date	Station	Phase	G.M.T. h m s	Date	Station	Phase	G.M.T. h m s
27.II	KRA	Lm	17 16,1	27.II	NIE	ePcP	19 14 43
/suite/		NE: 20 ^B ; 1,6 μ , 1,2 μ		28.II		Iles Proches, Aléoutiennes, USCGS: 52,8 ^O N, 171,4 ^O E, H=08 ^h 27 ^m 17,5 ^B , h=24 km; mb=4,6 /USCGS/ KRA $\Delta=74,9^{\circ}$. Traces	
		Lm	21,5		/SKM/	eP	08 38 57
		N: 21 ^B ; 2,2 μ			NIE	$\Delta=75,5^{\circ}$. Traces	
		Lm	22,1		eP		08 39 01
		EZ: 18 ^B ; 1,7 μ , 3,4 μ		28.II		Région des Iles Fidji, USCGS: 19,3 ^O S, 176,5 ^O W, H=11 ^h 10 ^m 48,5 ^B , h=109 km; mb=4,8 /USCGS/ KSP $\Delta=146,9^{\circ}$	
	NIE	$\Delta=77,5^{\circ}$			ePKP ₁		11 30 21
	eP		16 44 42		ePKP ₂		26
	iPcP		55		NIE	$\Delta=147,3^{\circ}$	
	ePP		47 36		ePKP ₁		11 30 22
	KSP	$\Delta=77,8^{\circ}$			e1PKP ₂		28
	eP		16 44 45		RAC	$\Delta=147,3^{\circ}$	
	ePcP		57		/SK/	ePKP ₁	11 30 29
27.II		Iles Proches, Aléoutiennes, USCGS: 52,0 ^O N, 173,3 ^O E, H=19 ^h 02 ^m 44,9 ^B , h=35 km; mb=4,8 /USCGS/ mPV=5,2 /Niedzica/					
	KSP	$\Delta=75,7^{\circ}$					
	iP		19 14 28,5 D				
	KRA	$\Delta=76,1^{\circ}$. Traces					
	/SKM/	eP	19 14 29				
		ePcP	40				
	NIE	$\Delta=76,6^{\circ}$					
	e1P		19 14 32,4 C				
		Z: 0,6 ^B ; 0,013 μ					

1971

M A R S

1971

1.III	KRA	Local ?		2.III	NIE	Carpates ?	
/SKM/	e1P _{NEZ}		09 50 28,9		iP _{GNZ}		09 41 19,9 C
1.III		Région de l'île Macquarie, USCGS: 59,5 ^O S, 149,5 ^O E, H=16 ^h 44 ^m 22,5 ^B , h normale			Z: 0,8 ^B ; 0,020 μ		
	NIE	$\Delta=149,3^{\circ}$. Traces			i/Sg/E		23,7
	ePKP		17 04 18		iZ		36,9
2.III		N Sumatra, USCGS: 3,8 ^O N, 96,8 ^O E, H=08 ^h 58 ^m 34,2 ^B , h=91 km			F		42 30
	NIE	$\Delta=78,3^{\circ}$			KRA		
	e1P		09 10 24,9 D		/SKM/	e1NZ	09 41 35,0
		Z: 0,8 ^B ; 0,010 μ				e1Sg _E	50,4
						iNEZ	52,0
				2.III		Pologne, région de Wałbrzych	
					KSP		
					iP _Z		10 49 20,3 D

Date	Station	Phase	G.M.T. h m s	Date	Station	Phase	G.M.T. h m s
2.III	KSP	i/S/Z	10 49 26,5	3.III	KRA	$\Delta = 41,4^\circ$	
/suite/		F	50	/SKM/	iP		02 23 45,3 D
2.III	NIE	e/P/Z	10 53 52,4	KSP	$\Delta = 43,9^\circ$. Traces		02 24 00
		e _Z	54 01,4		eP		
2.III	KRA	Local		3.III		NE Formose, USCGS: 26,8 ^o N, 125,9 ^o E, H=04 ^h 01 ^m 45,9 ^s , h=167 km;	
/SKM/	i _N , e _{EZ} Pg		12 03 35,4	NIE	$\Delta = 79,6^\circ$		
2.III	KRA	Local			e _{iP}		04 13 34,9 C
/SKM/	iPg _{NZ}		12 57 42,4	KSP	$\Delta = 81,0^\circ$. Traces		
	i _N		46		eP		04 13 42
2.III	NIE	Local		3.III		Nouvelles Hébrides, USCGS: 13,6 ^o S, 167,1 ^o E, H=09 ^h 26 ^m 45,3 ^s , h=208 km, mb=4,6 /USCGS/	
	e _{iPgZ}		14 13 50,4	NIE	$\Delta = 135,2^\circ$		
	e/Sg/Z		14 04		ePKP		09 45 43
	F		30		Z: 0,9 ^s ; 0,009 μ		
2.III	NIE	Ombrie, Italie, BCIS: 42,7 ^o N, 12,0 ^o E, H=18 ^h 52 ^m 12 ^s ; M=4,0 /Roma/		3.III		Riou-Kiou, USCGS: 26,3 ^o N, 129,4 ^o E, H=15 ^h 57 ^m 02,5 ^s , h norma- le, mb=5,0 /USCGS/	
	$\Delta = 8,7^\circ$. Traces			NIE	$\Delta = 82,0^\circ$		
	eP		18 54 22		eP		16 09 20
	ePP		28	3.III		Au large du cap Matanen, Pélo- ponèse, BCIS: 36,3 ^o N, 22,5 ^o E, H=19 ^h 00 ^m 50 ^s ; ML=3,0 /Athènes/	
3.III	KRA	Mexique, USCGS: 17,7 ^o N, 99,3 ^o W, H=00 ^h 48 ^m 11,4 ^s , h=77 km; mb=5,1 /USCGS/		NIE	$\Delta = 12,9^\circ$		
/SKM/	e _{iP}		01 01 23,9 C		e _{iPP}		19 04 16
NIE	$\Delta = 94,7^\circ$				e		46
	iP		01 01 26,2 C	3.III		Iles Kouriles, USCGS: 48,3 ^o N, 153,0 ^o E, H=21 ^h 54 ^m 09,1 ^s , h= 120 km; mb=5,8 /USCGS/	
	Z: 1,0 ^s ; 0,008 μ			KRA	$\Delta = 74,2^\circ$		
3.III	NIE	Péninsule d'Arabie, USCGS: 22,1 ^o N, 59,2 ^o E, H=02 ^h 15 ^m 58,1 ^s , h=35 km; mb=5,1 /USCGS/, mPV=5,0 /Kraków/		/SKM/	e _{iP}		22 05 33,4 D
	$\Delta = 40,9^\circ$			KSP	$\Delta = 74,5^\circ$. Traces		
	iP		02 23 40,7 C		eP		22 05 36
	Z: 0,9 ^s ; 0,019 μ			NIE	$\Delta = 74,7^\circ$		
	e _i		46		e _{iP}		22 05 36,2 D
	i _{pP}		48		Z: 1,5 ^s ; 0,002 μ		
				RAC	$\Delta = 74,7^\circ$. Traces		
				/SK/	eP		22 05 38

Date	Station	Phase	G.M.T. h m s	Date	Station	Phase	G.M.T. h m s
3.III		Iles Kouriles, USCGS: 46,9°N, 152,5°E, H=23 ^h 04 ^m 28,1 ^s , h normale, mb=5,8 /USCGS/		4.III	KSP	$\Delta = 77,8^\circ$ 1P ePcP	08 00 37 C 44
	NIE	$\Delta = 75,7^\circ$ e1P	23 16 11	4.III		N Sumatra, USCGS: 0,6°N, 98,7°E, H=10 ^h 29 ^m 29,7 ^s , h normale; mb=5,2 /USCGS/, mPV=5,3 /Niedzica/	
4.III		S de Hondo, Japon, USCGS: 30,4°N, 138,3°E, H=00 ^h 28 ^m 36,3 ^s , h=428 km; mb=5,7 /USCGS/			NIE	$\Delta = 81,9^\circ$ e1P Z: 0,9 ^s ; 0,025 μ	10 41 48 56
	KRA /SKM/	$\Delta = 83,2^\circ$ 1P Z: 1,0 ^s ; 0,096 μ	00 40 16,9 C		KRA /SKM/	$\Delta = 82,2^\circ$ 1P	10 41 49,7 C
	/SKD/	1SKS	49 56	4.III		Local	
	NIE	$\Delta = 83,5^\circ$ 1P Z: 1,0 ^s ; 0,041 μ	00 40 18,0 C		NIE	ePg _Z e1/Sg/Z	12 20 30,0 53,0
	RAC	$\Delta = 84,0^\circ$ eP	00 40 21	4.III		Local	
	/SK/				KRA	Traces	
	KSP	$\Delta = 84,3^\circ$ 1P Z: 1,5 ^s ; 0,39 μ	00 40 23 C		/SKM/	eP _{NEZ}	12 33 30,9
		e	42 09	4.III		Traces	
4.III		Mindoro, Philippines, USCGS: 13,9°N, 120,6°E, H=04 ^h 59 ^m 51,6 ^s , h=117 km; mb=4,9 /USCGS/			NIE	eP e1	13 05 52 06 15
	NIE	$\Delta = 86,2^\circ$ e1P Z: 1,0 ^s ; 0,006 μ	05 12 21		KRA /SKM/	eP	13 05 52
4.III		Près de la côte de Hondo, Japon, USCGS: 40,7°N, 143,5°E, H=07 ^h 48 ^m 39,0 ^s , h=37 km; mb=5,2 /USCGS/, mPV=5,5 /Kraków/, 5,1 /Niedzica/		4.III		Iles Tonga, USCGS: 17,9°S, 175,6°W, H=17 ^h 16 ^m 51,5 ^s , h=290 km; mb=4,9 /USCGS/	
	KRA /SKM/	$\Delta = 77,1^\circ$ eP Z: 1,0 ^s ; 0,042 μ	08 00 30 C		NIE	$\Delta = 146,3^\circ$ e1PKP ₁ Z: 0,9 ^s ; 0,025 μ	17 35 59,0 D
		e1	52	4.III		Traces	
	NIE	$\Delta = 77,5^\circ$ e1P Z: 1,0 ^s ; 0,014 μ	08 00 33,0 C		NIE	eP	20 46 02
		e1PcP	45	5.III			
					NIE	eP	15 20 35,5
				6.III		Région des Iles Fidji, USCGS: 18,8°S, 177,6°W, H=04 ^h 40 ^m 57,5 ^s ,	

Date	Station	Phase	G.M.T. h m s	Date	Station	Phase	G.M.T. h m s
6.III		h=543 km; mb=4,6 /USCGS/ $\Delta=146,0^\circ$. Traces		8.III	KSP	1L _{NEZ} F	13 01 49 02 10
/suite/	KRA			8.III		Panama, USCGS: 7,2°N, 81,6°W, H=16 ^h 28 ^m 09,4 ^s , h=17 km; mb=5,0 /USCGS/	
	/SKM/	1PKP ₁	04 59 36,5 C	KSP		$\Delta=89,4^\circ$. Traces	
	KSP	$\Delta=146,2^\circ$ 1PKP ₁	04 59 36,5 D	NIE		$\Delta=92,3^\circ$. Traces	
	NIE	$\Delta=146,4^\circ$ e1PKP ₁ Z: 0,8 ^s ; 0,020 μ	04 59 38,0 D	8.III		Allemagne Fédérale, BCIS: 49,5°N, 8,3°E, H=17 ^h 43 ^m 35 ^s ; Mloc=2,5 /Bensberg/	
6.III		Local ?		KSP		$\Delta=5,3^\circ$. Traces	
	NIE	e1P _Z Z: 0,8 ^s ; 0,015 μ	06 33 27,0	e			17 46 09
		e1 _Z	30,5	eS ^m			16
		e1 _Z	34 19,0	eSSS			21
	KSP	Traces		8.III		Région des Iles Fidji, USCGS: 17,8°S, 178,7°W, H=21 ^h 28 ^m 29,7 ^s , h=607 km; mb=4,7 /USCGS/	
		NEZ	06 34-35	KRA		$\Delta=144,7^\circ$. Traces	
6.III		Région de l'île Formose, USCGS: 21,5°N, 121,9°E, H=08 ^h 00 ^m 19,1 ^s , h=41 km; mb=4,9 /USCGS/		/SKM/		ePKP ₁ Z: 1,0 ^s ; 0,060 μ	21 46 59,3
	NIE	$\Delta=81,2^\circ$		NIE		$\Delta=145,1^\circ$	
		eP	08 12 34	e1PKP ₁			21 47 01,0 C
6.III		Local				Z: 0,7 ^s ; 0,065 μ	
	KRA			e1			18
	/SKM/	1P _Z	12 41 14,3	9.III		Iles Ioniennes, BCIS: 38,8°N, 20,5°E, H=04 ^h 58 ^m 42 ^s , h=45 km; MLH=4,0 /Tirana/, 5,2 /Kraków/	
		1 _{EZ}	18,8	NIE		$\Delta=10,3^\circ$	
		F	35	1P			05 01 14,5 D
6.III		Local				Z: 0,9 ^s ; 0,033 μ	
	NIE			1PP			25,5
		ePg _Z	13 13 11,0	KRA		$\Delta=11,0^\circ$	
		e1 _Z	32,0	/SKM/		eP	05 01 18,3
7.III				/SKD/		eL	04,5
	NIE					Lm	05 32
		e1P	07 25 08			NE: 16 ^s ; 2,3 μ , 8,1 μ	
8.III		Local				Lm	06 45
	KRA					NZ: 14 ^s ; 3,7 μ , 5,6 μ	
	/SKM/	e/P/NZ	12 53 32,8	9.III		S des Iles Fidji, USCGS: 23,4°S,	
8.III		Pologne, région de Wałbrzych					
	KSP						
		1P _{NEZ}	13 01 44,5				
		1S _{NEZ}	47				

Date	Station	Phase	G.M.T. h m s	Date	Station	Phase	G.M.T. h m s
9.III		180,0°E, H=08 ^h 11 ^m 52,8 ^s , h=511 km; mb=5,0 /USCGS/ $\Delta=149,8^\circ$		10.III		Pologne, région de Wałbrzych	
	KSP				KSP	1P _{NEZ}	07 34 39,5
		1PKP ₁	08 30 44			1S	42,5
		1PKP ₂	52			F	35 00
	NIE	$\Delta=149,7^\circ$		10.III		Local	
		e1PKP ₁	08 30 44,5 C		KRA		
		Z: 1,0 ^s ; 0,011 μ			/SKM/	e1/P/Z	12 41 37,0
9.III		Carpathes				e1 _Z	43,8
	NIE			10.III		Local	
		e1Pg _Z	13 15 28,5		NIE		
		e1 _Z	35,0			e1P _Z	15 39 49,5
		i _Z	51,5			e1 _Z	40 04,5
	KRA					e1 _Z	08,5
	/SKM/	e _{NE} , e1 _Z Pg	13 15 32,1 C	11.III		S des Iles Tonga, USCGS:	
		e _N	49,3			24,5°S, 175,9°W, H=08 ^h 21 ^m 41,6 ^s ,	
	KSP					h normale; mb=4,8 /USCGS/ $\Delta=152,0^\circ$	
		eL	13 16 33		KSP	e1PKP ₁	08 41 34
9.III		Iles Kouriles, USCGS: 45,6°N, 150,9°E, H=15 ^h 14 ^m 28,5 ^s , h norma- le, mb=4,9 /USCGS/, mPV=5,1 /Nie- dzica/		11.III		Pologne, région de Wałbrzych	
	NIE	$\Delta=76,3^\circ$			KSP	eP _{NEZ}	11 01 43,5
		e1P	15 26 14,5 C			i _{NEZ}	45,5
		Z: 0,9 ^s ; 0,015 μ				i _{NEZ}	58,5
		e1PcP	31			F	02 15
9.III				11.III			
	NIE				KRA		
		e1P	15 43 02,5		/SKM/	e1P	12 57 57
9.III		Iles Tonga, USCGS: 15,2°S, 173,7 173,7°W, H=18 ^h 06 ^m 41,4 ^s , h norma- le, mb=5,0 /USCGS/		12.III		NIE	
	NIE	$\Delta=144,2^\circ$				e1P	02 41 45
		e1PKP ₁	18 26 13			Pm	46
		Z: 0,9 ^s ; 0,011 μ				Z: 1,0 ^s ; 0,007 μ	
		e	26			e1	55
9.III				12.III		Proche	
	NIE				NIE		
		eP	21 03 23			1P _Z	12 46 14,5 C
		e1	28			Z: 0,7 ^s ; 0,083 μ	
						i _Z	18
						i _Z	46
						i _Z	47 07

Date	Station	Phase	G.M.T. h m s	Date	Station	Phase	G.M.T. h m s
12.III	KRA			13.III	NIE	eipP	03 11 54
/suite//SKM/	eP _{BZ}		12 46 24		KSP	$\Delta = 78,0^\circ$. Traces	
/GW/	eEZ		47 04		eP		03 11 31
	KSP			13.III		Iles Fidji, USCGS: 18,4°S, 173,6°E, H=15 ^h 47 ^m 57,1 ^s , h=20 km; mb=5,6 /USCGS/	
	iP _{NEZ}		12 46 53		KSP	$\Delta = 142,8^\circ$	
	i _{NEZ}		56		ePKP		16 07 28
	F		48,0	13.III		E de la Nouvelle Guinée, USCGS: 5,7°S, 145,4°E, H=19 ^h 12 ^m 25,0 ^s , h=118 km; mb=6,3 /USCGS/	
12.III		Pologne, région de Walbrzych			KRA	$\Delta = 116,8^\circ$	
	KSP			/SKM/	ePdif		19 27 12
	iP _{NEZ}		12 53 34,5 C		iPKP		30 57
	F		54,0		i		32 17
12.III		Iles Tonga, USCGS: 18,3°S, 175,7°W, H=14 ^h 28 ^m 28,8 ^s , h=280 km; mb=4,7 /USCGS/			NIE	$\Delta = 116,8^\circ$	
	KSP	$\Delta = 146,1^\circ$			eipPdif		19 27 14
	ePKP ₁		14 47 36		eipPKP		30 56
	i		51		i		58
	NIE	$\Delta = 146,6^\circ$			RAC	$\Delta = 118,0^\circ$	
	eipPKP ₁		14 47 39 D	/SK/	ePKP		19 31 01
	ei	Z: 1,0 ^s ; 0,015 μ		13.III			
			53		KRA		
12.III		Philippines, USCGS: 18,8°N, 119,8°E, H=22 ^h 32 ^m 51,0 ^s , h=5,0 /USCGS/, mPV=5,2 /Niedzica/, mb= 5,0 /USCGS/		/SKM/	eP		19 41 25
	NIE	$\Delta = 88,0^\circ$			NIE		
	eipP		22 45 08,5 C		iP		19 41 27 C
	ei	Z: 0,8 ^s ; 0,015 μ				Z: 0,9 ^s ; 0,022 μ	
			18		eip		30
	KRA	$\Delta = 88,1^\circ$			ei		40
	/SKM/	eP	22 45 09	13.III			
13.III		Près de la côte E de Hondo, Japon, USCGS: 40,1°N, 142,6°E, H=02 ^h 59 ^m 38,5 ^s , h=57 km; mb=5,1 /USCGS/, mPV=5,2 /Niedzica/			KRA	Traces	
	KRA	$\Delta = 77,3^\circ$		/SKM/	eipP		23 02 28
	/SKM/	iP	03 11 26,8	13.III		Iles de la Reine Charlotte, Moskva: 51,3°N, 130,2°W, H=23 ^h 51 ^m 37 ^s , h=25 km; mb=5,7 /USCGS/, mPV=5,7 /Kraków/, 5,2 /Niedzica/	
	/SKD/	ePcP	41		KSP	$\Delta = 74,3^\circ$	
	Lm		48,0		eP		00 03 15
	✓	NEZ: 19 ^s ; 1,6 μ , 1,1 μ , 2,1 μ			KRA	$\Delta = 76,1^\circ$	
	NIE	$\Delta = 77,6^\circ$		/SKM/	eP		00 03 23,7 D
	iP		03 11 29 C			Z: 1,3 ^s ; 0,118 μ	
		Z: 0,9 ^s ; 0,019 μ					

Date	Station	Phase	G.M.T. h m s	Date	Station	Phase	G.M.T. h m s
14.III	KRA	1pP	00 03 32	15.III	KRA	i	05 47 34
/suite/	NIE	$\Delta = 76,8^\circ$				iPcP	39
		1P	00 03 27,7 D	/SKD/		eS	57 19
		Z: $1,1^S$; $0,021\mu$				eL	06 16,0
		i	34			Lm	18,0
14.III						\checkmark NE: 22^S ; $1,5\mu$, $1,1\mu$	
	NIE	Traces		NIE	$\Delta = 76,7^\circ$		
		e1P	01 43 38,1			iP	05 47 32,4 C
14.III		Région des Iles Fidji, USCGS: $17,5^\circ S$, $178,9^\circ W$, $H=11^h 50^m 13,7^s$, $h=641$ km; $mb=4,1$ /USCGS/ $\Delta=144,6^\circ$				i	35
	KSP	ePKP	12 08 41	KSP	$\Delta = 77,0^\circ$		
14.III		Région de Kamtchatka, Moskva: $54,3^\circ N$, $160,1^\circ E$, $H=12^h$ $15^m 16^s$; $mb=5,3$ /USCGS/, $mPV=5,3$ /Niedzica/ $\Delta=70,9^\circ$		15.III		Iles Tonga, USCGS: $17,6^\circ S$, $173,0^\circ W$, $H=10^h 48^m 10,7^s$, h norma- le, $mb=5,2$ /USCGS/ $\Delta=146,0^\circ$	
	KSP	iP	12 26 31			iPKP ₁	11 07 49 C
						iPKP ₂	51
	KRA	$\Delta=71,0^\circ$. Traces				i	08 01
/SKM/		eP	12 26 32	KRA	$\Delta=146,2^\circ$		
	NIE	$\Delta=71,5^\circ$		/SKM/		ePKP ₁	11 07 49 C
		1P	12 26 34,5 D			e	08 00
		Z: $0,8^S$; $0,023\mu$		/SKD/		e	09
		ePcP	48			eL	12 07,5
14.III				RAC	$\Delta=146,6^\circ$		
	NIE	eP	14 07 40	/SK/		ePKP ₁	11 07 50
		e1	59			NIE	$\Delta=146,7^\circ$
14.III						ePKP ₁	11 07 50
	KSP	eP	15 17 06,5			iPKP ₂	52
15.III		Région de Hokkaido, Japon, USCGS: $41,7^\circ N$, $143,7^\circ E$, $H=05^h$ $35^m 44,6^s$, $h=48$ km; $mb=5,4$ /USCGS/ $mPV=5,3$ /Niedzica/, $MLH=5,3$ /Kraków/ $\Delta=76,4^\circ$		15.III		e1	08 11
	KRA	e1P	05 47 29,2 C	15.III		Pologne, région de Wałbrzych	
	/SKM/	Z: $0,8^S$; $0,078\mu$				KSP	
						iP _{EZ}	14 22 27,0
						iS _{EZ}	29,2
						F	40
				15.III		S de Hondo, Japon, USCGS: $31,1^\circ N$, $141,8^\circ E$, $H=14^h 12^m 10,4^s$, h normale; $mb=4,8$ /USCGS/ $\Delta=84,4^\circ$	
						KRA	
				/SKM/		eP	14 24 40 D

Date	Station	Phase	G.M.T. h m s	Date	Station	Phase	G.M.T. h m s
15.III	NIE	$\Delta = 84,6^\circ$		16.III	NIE	ei	00 33 26
/suite/		iP	14 24 42,3 D			ei	55
	KSP	$\Delta = 85,3^\circ$		16.III			
		eP	14 24 46	NIE			
15.III		S Grèce, USCGS: $37,2^\circ\text{N}$, $24,0^\circ\text{E}$, $H=15^{\text{h}}23^{\text{m}}17,8^{\text{s}}$, $h=32$ km; $mb=4,8$ /USCGS/				eiP	03 14 34
	KSP	$\Delta = 14,7^\circ$		16.III			
		eP	15 26 51	NIE			
15.III		Nouvelles Hébrides, USCGS: $15,5^\circ\text{S}$, $167,6^\circ\text{E}$, $H=20^{\text{h}}51^{\text{m}}47,8^{\text{s}}$, $h=118$ km; $mb=5,4$ /USCGS/				eiP	03 31 42,1
	NIE	$\Delta = 137,8^\circ$		16.III			
		iPKP	21 10 58,7 D	Local			
		Z: $0,8^{\text{s}}$; $0,056\mu$		KRA			
	KRA	$\Delta = 136,9^\circ$		/SKM/		ei/P/Z	12 32 03,4
	/SKM/	iPKP	21 10 57,7 D			ei _N	16,7
		Z: $1,0^{\text{s}}$; $0,066\mu$		NIE			
		e	14 20			ei/P/Z	12 32 08,0
	KSP	$\Delta = 137,9^\circ$		16.III			
		iPKP	21 11 00	Iles Salomon, USCGS: $10,9^\circ\text{S}$, $163,7^\circ\text{E}$, $H=12^{\text{h}}32^{\text{m}}30,6^{\text{s}}$, $h=42$ km; $mb=5,8$ /USCGS/, $MLH=6,2$ /Kraków/			
	RAC	$\Delta = 137,7^\circ$					
	/SK/	ePKP	21 11 00	NIE		$\Delta = 131,2^\circ$	
15.III						ePKP	12 51 48
NIE				KRA		$\Delta = 131,0^\circ$	
		iPKP	21 14 22,0 D	/SKM/		ePKP	12 51 48
		Z: $1,0^{\text{s}}$; $0,017\mu$		/SKD/		ePP	54 10
15.III						eL	13 26,5
NIE				✓ Lm			31
		eiP	22 30 49,7 D			NE: 55^{s} ; $6,3\mu$, $7,7\mu$	
		Z: $1,0^{\text{s}}$; $0,010\mu$		✓ Lm			37,0
		e	31 04,2			E: 28^{s} ; $5,3\mu$	
15.III				✓ Lm			37,3
NIE						N: 29^{s} ; $9,2\mu$	
		eiP	22 30 49,7 D	16.III			
		Z: $1,0^{\text{s}}$; $0,010\mu$		Philippines, USCGS: $8,3^\circ\text{N}$, $127,1^\circ\text{E}$, $H=20^{\text{h}}35^{\text{m}}18,8^{\text{s}}$, $h=52$ km; $mb=5,7$ /USCGS/, $MLH=5,7$ /Kraków/			
		e	31 04,2				
15.III				KRA		$\Delta = 94,6^\circ$	
		Afghanistan, USCGS: $33,0^\circ\text{N}$, $68,1^\circ\text{E}$, $H=22^{\text{h}}57^{\text{m}}17,6^{\text{s}}$, $h=41$ km; $mb=4,3$ /USCGS/		/SKM/		eP	20 48 34
	NIE	$\Delta = 38,8^\circ$				epP	56
		eP	23 04 42			ePP	52 22
16.III						eSKS	59 08
NIE						eS	42
		iP	00 33 23,1 D			eL	21 17
						Lm	40,5
				✓		NEZ: 19^{s} ; $2,7\mu$, $2,8\mu$, $5,1\mu$	

Date	Station	Phase	G.M.T. h m s		Date	Station	Phase	G.M.T. h m s
16. III	NIE	$\Delta=94,5^\circ$			17. III			
/suite/		e1P	20 48 35,4	C	KSP			
		1PoP	40			e/Pg/	17 53 46	
		ipP	50			e/Sg/	54 28,5	
		e1	49 14			F	55	
	KSP	$\Delta=96,4^\circ$			NIE			
		e1P	20 48 41			e1Pg	17 54 24,8	
		e1	55			e1	39,8	
	RAC	$\Delta=95,6^\circ$			18. III			
	/SD/	eP	20 48 41			S des Iles Fidji, USCGS: $23,8^\circ\text{S}$, $180,0^\circ\text{E}$, $H=02^{\text{h}}34^{\text{m}}48,7^{\text{s}}$, $h=542$ km; $mb=5,0$ /USCGS/		
16. III		Formose, USCGS: $23,8^\circ\text{N}$, $121,6^\circ\text{E}$, $H=22^{\text{h}}52^{\text{m}}09,3^{\text{s}}$, $h=40$ km; $mb=4,6$			KSP	$\Delta=150,2^\circ$. Traces		
		/USCGS/				e1PKP ₁	02 53 37	C
	NIE	$\Delta=79,3^\circ$. Traces			KRA	$\Delta=149,7^\circ$		
		e1P	23 11 59,6	C	/SKM/	ePKP ₁	02 53 38	
						Z: $1,2^{\text{s}}$; $0,031\mu$		
17. III					NIE	$\Delta=150,1^\circ$		
	KRA					1PKP ₁	02 53 38,7	C
	/SKM/	e1P	11 47 01,4			Z: $0,9^{\text{s}}$; $0,019\mu$		
		e	32			ePKP ₂	46	
17. III					18. III			
	NIE	Traces				Iles Kouriles, USCGS: $49,2^\circ\text{N}$, $156,3^\circ\text{E}$, $H=03^{\text{h}}13^{\text{m}}15,4^{\text{s}}$, h normale; $mb=5,1$ /USCGS/, $mpV=5,4$ /Niedzica/		
		e1P	11 47 15,3	C		$\Delta=74,6^\circ$		
					KSP			
		Z: $0,6^{\text{s}}$; $0,013\mu$				e1P	03 24 50,5	D
17. III					KRA	$\Delta=74,5^\circ$		
		Basse Silésie			/SKM/	1P	03 24 50,6	D
	KSP					1PoP	25 13	
		e/P/EZ	12 36 39,5		NIE	$\Delta=74,9^\circ$		
		¹ EZ	41,5			e1P	03 24 53,7	
		¹ EZ	37 08			Z: $0,9^{\text{s}}$; $0,027\mu$		
	KRA	Traces				e1	25 05	
	/SKM/	e/P/ ₂	12 36 52,4		18. III			
		eNEZ	37 27			Iles Tonga, USCGS: $20,9^\circ\text{S}$, $174,4^\circ\text{W}$, $H=05^{\text{h}}20^{\text{m}}03,7^{\text{s}}$, h normale, $mb=5,2$ /USCGS/		
	NIE	Traces			KSP	$\Delta=148,9^\circ$. Traces		
		e _Z	12 37 12,8			e1PKP	05 39 48	C
17. III						F	41	
		Pres de la côte E de Hondo, Japon, USCGS: $40,2^\circ\text{N}$, $142,3^\circ\text{E}$, $H=16^{\text{h}}08^{\text{m}}12,7^{\text{s}}$, $h=57$ km; $mb=4,3$			RAC	$\Delta=149,4^\circ$		
		/USCGS/			/SD/	ePKP	05 39 49	
	NIE	$\Delta=77,4^\circ$						
		e1P	16 20 03,8	C				

Date	Station	Phase	G.M.T. h m s	Date	Station	Phase	G.M.T. h m s
20.III		Près de la côte E de Hondo, Japon, USCGS: 40,9°N, 141,9°E, H=09 ^h 34 ^m 02,3 ^s , h=76 km; mb=4,5 /USCGS/ NIE Δ=76,6° e1P	09 45 46,2 C	22.III	KRA /GW/ NIE	e1PP e Δ=36,8° 1P Z: 0,9 ^s ; 0,246 μ	04 41 28 52 26 04 40 08,7 C 41 19,7 36,7
20.III		Indonésie, USCGS: 7,4°S, 114,6°E H=09 ^h 44 ^m 50,3 ^s , h=5 km; mb=5,5 /USCGS/ NIE Δ=98,3° e1P	09 58 31,2 D	22.III		Près de la côte E de Hondo, Japon, USCGS: 37,2°N, 142,1°E, H=10 ^h 40 ^m 04,2 ^s , h=46 km; mb=5,3 /USCGS/ KRA Δ=79,4° /SKM/ 1P Z: 0,7 ^s ; 0,058 μ e NIE Δ=79,7° 1P Z: 0,9 ^s ; 0,039 μ e1PcP	10 52 06,5 C 13 10 52 09 C 21
20.III	KRA /SKM/	Local e1Pg _Z e1Sg _N F	10 57 30,5 36,7 58	22.III	KSP	Local 1Pg _{NEZ} 1Sg _{NEZ} F	21 07 15 31 40
20.III	NIE	Traces e1/Pg/Z e1 _Z	10 57 43,2 59,2	22.III		S des Iles Fidji, USCGS: 22,9°S, 176,4°W, H=02 ^h 15 ^m 26,9 ^s , h=76 km; mb=6,0 /USCGS/ KSP Δ=150,4° e1PKP ₁ i KRA Δ=150,2° /SKM/ ePKP ₁ Z: 1,3 ^s ; 0,064 μ i 1PKP ₂ i /SKD/ e1PP eL NIE Δ=150,6° e1PKP ₁ i 1PKP ₂	12 00 41,7 01 00,7 02 35 04 D 09 02 35 06 11,5 28 37 39 04 03 26,6 02 35 06,4 12 30
20.III	NIE	Local e/P/Z e1 _Z	12 00 41,7 01 00,7	23.III			
21.III	KRA /SKM/	Région des Iles Fidji, USCGS: 18,1°S, 178,4°W, H=15 ^h 16 ^m 56,9 ^s , h=686 km; mb=4,2 /USCGS/ Δ=145,3° 1PKP ₁	15 35 21,3 D				
21.III	NIE	Δ=145,5° e1PKP ₁	15 35 22,9				
22.III	NIE	Hokkaido, Japon, USCGS: 43,5°N, 144,3°E, H=01 ^h 07 ^m 07,2 ^s , h=25 km; mb=4,6 /USCGS/ Δ=75,5° e1P	01 18 51,2				
22.III	KRA /SKM/	E Kazakstan, USCGS: 49,7°N, 78,2°E, H=04 ^h 32 ^m 57,8 ^s , h=0 ; mb=5,8 /USCGS/, mPV=6,1 /Kraków, Niedzica/ Δ=36,8° 1P Z: 0,9 ^s ; 0,230 μ	04 40 07,7 C				

Date	Station	Phase	G.M.T. h m s	Date	Station	Phase	G.M.T. h m s
23.III	RAC	$\Delta=150,7^\circ$ e1PKP ₁	02 35 12,5	23.III		Région frontière Kirghiz-Sinkiang, USCGS: 41,5°N, 79,3°E, H=09 ^h 52 ^m 12,3 ^s , h normale; mb=5,7 /USCGS/, mPV=5,5 /Kraków/	
23.III		Oural, URSS, USCGS: 61,3°N, 56,5°E, H=06 ^h 59 ^m 56,0 ^s , h=0; mb= 5,6 /USCGS/, mPV=5,3 /Niedzica/, 5,7 /Kraków/			NIE	$\Delta=41,2^\circ$ e1P	09 59 56,2
	KRA	$\Delta=23,3^\circ$			KRA	$\Delta=41,3^\circ$	
	/SKM/	1P	07 05 04,7 C		/SKM/	1P	09 59 56,3 C
		Z: 0,7 ^s ; 0,268 μ				Z: 0,8 ^s ; 0,051 μ	
		1	07			1	57,4
		1	15			1	10 00 01,8
		e1S	09 16		RAC	$\Delta=42,4^\circ$	
	NIE	$\Delta=23,6^\circ$			/SK/	eP	10 00 07
		1P	07 05 07,8 C	23.III		Région frontière Kirghiz-Sinkiang, USCGS: 41,5°N, 79,3°E, H=20 ^h 47 ^m 17,4 ^s , h normale; mb=6,0 /USCGS/, mPV=5,8 /Kraków/, MLH=6,1 /Kra- ków/	
		Z: 1,1 ^s ; 0,099 μ			NIE	$\Delta=41,2^\circ$	
	KSP	$\Delta=24,3^\circ$				1P	20 55 01,2 C
		eP)	07 05 14			Z: 1,0 ^s ; 0,049 μ	
		1S	09 40		KRA	$\Delta=41,3^\circ$	
	RAC	$\Delta=24,1^\circ$			/SKM/	eP	20 55 01,3 C
	/SK/	e1P	07 05 14			Z: 1,5 ^s ; 0,197 μ	
		eS	09 32			1	05
23.III		Région de Jan Mayen, USCGS: 71,0°N, 7,0°W, H=09 ^h 26 ^m 29,3 ^s , h normale; mb=6,0 /USCGS/, MLH= 6,1 /Niedzica/, 6,3 /Kraków/			/SKD/	eS	21 01,4
	RAC	$\Delta=24,2^\circ$				ei	04,1
	/SK/	eP	09 31 42			✓Lm	10,1
	NIE	$\Delta=25,3^\circ$				NEZ: 18 ^s ; 20,6 μ , 5,6 μ , 7,6 μ	
		1P	09 31 53,2 C		RAC	$\Delta=42,4^\circ$	
		Z: 1,0 ^s ; 0,143 μ			/SK/	eP	20 55 12
		eL	40 06,7			eiPP	56 52
		Lm	42 38,7		KSP	$\Delta=43,4^\circ$	
		Z: 14 ^s ; 39,4 μ				e1P	20 55 15 C
		Lm	43 21,7			1	56 19
		NE: 13 ^s ; 43,3 μ , 14,2 μ				e1PoP	57 10
	KRA	$\Delta=24,6^\circ$		24.III		Nouvelle Bretagne, USCGS: 5,3°N, 151,5°E, H=02 ^h 26 ^m 14,7 ^s , h=71 km; mb=5,6 /USCGS/	
	/GW/	✓eL	09 40,0		NIE	$\Delta=111,2^\circ$	
		✓Lm	41,3			1/PKP/	02 44 58,9 C
		NE: 16 ^s ; 35,2 μ , 114,5 μ				1PP	45 14
		✓Lm	42,9				
		NEZ: 13,5 ^s ; 54,5 μ , 10,3 μ					

Date	Station	Phase	G.M.T. h m s	Date	Station	Phase	G.M.T. h m s
24.III	NIE	Mer Ionienne, BCIS: 37,6°N, 20,3°E, H=05 ^h 11 ^m 11 ^s ; ML=4,7 /Athènes/ Δ=11,1°	eP 05 13 56 e1PP 58 ePPP 14 09	24.III	NIE	Δ=76,0° e1P 18 37 00,2 D Pm 01,5 Z: 0,9 ^s ; 0,019μ	
24.III	NIE	W Pakistan, USCGS: 30,3°N, 67,8°E H=13 ^h 39 ^m 46,3 ^s , h=12 km; mb=4,9 /USCGS/ Δ=40,3°	e1P 13 47 27 D e1 40	24.III	NIE	eP 18 45 50 e1 46 00	
24.III	KRA /SKM/	Traces	e1P 13 57 04 D	24.III	NIE	Philippines, Moskva: 9,4°N, 125,7°E, H=20 ^h 24 ^m 27 ^s Δ=92;8° eP 20 37 37	
24.III	NIE	Chine, USCGS: 35,5°N, 98,2°E, H=13 ^h 54 ^m 17,7 ^s , h=13 km; mb=5,8 /USCGS/ Δ=56,8°	e1P 14 04 02,2 C i 09 e1 15	24.III	NIE	Région frontière Kirghiz-Sinkiang, USCGS: 41,5°N, 79,5°E, H=20 ^h 54 ^m 28,6 ^s , h=18 km; mb=5,3 /USCGS/ mPV=5,1 /Niedzica/, 5,3 /Kraków/ Δ=41,3° e1P 21 02 14,8 C Z: 1,0 ^s ; 0,030μ i 19 e1PP 03 55	
	KRA /SKM/	Δ=56,8°	e1P 14 04 02,6 C e1 05 e1 14		KRA /SKM/	Δ=41,5° e1P 21 02 15,0 Z: 1,0 ^s ; 0,054μ i 19	
	/GW/		ePPP 07 32 eS 12 05 e 45 e 16,6 e1L 24		/SKD/	eL 15,4	
	RAC /SK/	Δ=57,8°	eP 14 04 12		RAC /SK/	Δ=42,5° eP 21 02 26	
	KSP	Δ=58,7°	eP 14 04 16		KSP	Δ=43,5° eP 21 02 27,5	
24.III	KSP	Iles Kouriles, USCGS: 45,0°N, 148,9°E, H=18 ^h 25 ^m 17,9 ^s , h=56 km; mb=5,0 /USCGS/, mPV=5,2 /Niedzi- ca/ Δ=76,1°, Traces	eP 18 36 57	24.III	NIE	Région frontière Kirghiz-Sinkiang, USCGS: 41,4°N, 79,4°E, H=21 ^h 01 ^m 54,9 ^s , h=25 km; mb=5,3 /USCGS/ mPV=5,4 /USCGS/ Δ=41,3° iP 21 09 40,1 C Z: 0,9 ^s ; 0,048μ i 43,6 i 52,6	
					KRA /SKM/	Δ=41,4° eP 21 09 40,2	

Date	Station	Phase	G.M.T. h m s	Date	Station	Phase	G.M.T. h m s
26. III	KSP	Local		27. III	NIE		
		e1/P/NEZ	11 28 00			eZ	15 05 03
		e1/S/NEZ	25			eZ	32
26. III		SE Alaska, USCGS: 60,3°N, 141.0°W, H=17 ^h 35 ^m 18,0 ^s , h=7 km; mb=5,5 /USCGS/, mPV=6,0 /Kraków/, 5,7 /Niedzica/			KRA	Traces	
	KSP	Δ=67,7°		/SKM/	eEZ		15 05 24
		1P	17 46 16	27. III		Iles Andreanov, USCGS: 52,6°N, 174,5°W, H=17 ^h 09 ^m 52,3 ^s , h= 138 km; mb=5,6 /USCGS/	
	RAC	Δ=68,9°			KSP	Δ=76,5°	
	/SK/	e1P	17 46 24			1P	17 21 26,5
	KRA	Δ=69,2°			KRA	Δ=77,2°	
	/SKM/	1P	17 46 24,9 C		/SKM/	e1P	17 21 31,1 D
		Pm	26,0			Z: 1,0 ^s ; 0,108μ	
		Z: 0,9 ^s ; 0,110μ				e1PcP	38
		i	29,4			e1PP	24 21
		e1PcP	56			ePPP	26 20
		ePP	48 57		RAC	Δ=77,3°	
	/SKD/	eS	55 39		/SK/	e1P	17 21 32
		eSS	18 00 04		NIE	Δ=77,8°	
		eL	10			1P	17 21 34,7 D
	NIE	Δ=69,8°				Z: 1,0 ^s ; 0,038μ	
		1P	17 46 29,2 C			e1	39
		Z: 1,0 ^s ; 0,058μ				e1PcP	51
		i	39	27. III			
26. III					KRA	Traces	
	NIE			/SKM/	e1P		19 18 26,3
		e1P	17 53 20,2 C	28. III		Iles Andaman, Moskva, 12,9°N, 96,1°E, H=01 ^h 17 ^m 36 ^s	
		Z: 1,0 ^s ; 0,009μ			NIE	Δ=71,0°. Traces	
27. III		Iles Tonga, USCGS: 20,3°S, 173,9°W, H=01 ^h 18 ^m 38,7 ^s , h=40 km; mb=4,9 /USCGS/				eP	01 28 53
	NIE	Δ=149,0°		28. III		Birmanie, USCGS: 19,1°N, 96,3°E, H=02 ^h 54 ^m 12,2 ^s , h=34 km; mb=4,4 /USCGS/	
		e1PKP ₁	01 38 25,1		NIE	Δ=66,7°	
		ePKP ₂	33			eP	03 05 02
27. III		Local		28. III		Iles Tonga, USCGS: 23,2°S, 175,7°W, H=04 ^h 17 ^m 29,5 ^s , h=46 km; mb=4,7 /USCGS/	
	KSP	Traces			KSP	Δ=151,0°. Traces	
		1Pg _{NEZ}	15 04 37			ePKP ₁	04 37 17
		1Sg _{NEZ}	55				
		F	05				

Date	Station	Phase	G.M.T. h m s	Date	Station	Phase	G.M.T. h m s
28.III	NIE	$\Delta=151,2^{\circ}$ 1PKP ₁ Z: 0,8 ^s ; 0,015 μ eiPKP ₂	04 37 18,8 C 38	28.III	NIE	$\Delta=71,0^{\circ}$ e1P e	14 32 18,0 C 25
28.III	NIE	eP	05 13 41,3	28.III		Iles Andaman, USCGS: 11,8 ^o N, 95,1 ^o E, H=14 ^h 39 ^m 42,4 ^s , h normale, mb=4,8 /USCGS/ NIE $\Delta=71,2^{\circ}$ e1P e1	14 51 01,7 C 09
28.III	NIE	e1P e	08 27 38,2 C 54,7	28.III	KSP	$\Delta=73,9^{\circ}$. Traces eP	14 51 14
28.III	KRA /SKM/	Iles Andaman, USCGS: 11,8 ^o N, 95,1 ^o E, H=08 ^h 23 ^m 19,9 ^s , h normale mb=5,5 /USCGS/, MLH=5,7 /Kraków/ $\Delta=71,5^{\circ}$ e/P/ e i i /SKD/ eS eL Lm Lm NZ: 40 ^s ; 6,3 μ , 2,5 μ NEZ: 30 ^s ; 8,0 μ , 1,5 μ , 9,8 μ	08 34 33 39 45 35 18 43 59 57,1 09 05 06	28.III	NIE	Traces e1P	20 59 34
	NIE	$\Delta=71,2^{\circ}$ e1P i i	08 34 39,0 C 44 51	29.III	KSP	Pologne, région de Wałbrzych 1P _{NEZ} 1S _{NEZ}	08 10 32,5 36
	RAC /SK/	$\Delta=72,6^{\circ}$ eP	08 34 45	29.III	KSP	Pologne, région de Wałbrzych 1P _{NEZ} 1S _{NEZ} F	13 30 18,5 21 40
	KSP	$\Delta=73,9^{\circ}$ 1P i	08 34 51 58	29.III	NIE	Iles Andaman, USCGS: 11,1 ^o N, 95,1 ^o E, H=17 ^h 55 ^m 44,0 ^s , h=25 km; mb=5,2 /USCGS/, mPV=5,1 /Nie- dzica/, 5,6 /Kraków/ $\Delta=71,7^{\circ}$ 1P Z: 0,9 ^s ; 0,015 μ	18 07 06,2 D
28.III	NIE	e1P e1	08 52 47 53		KRA /SKM/	$\Delta=72,0^{\circ}$ e1P e Z: 0,8 ^s ; 0,037 μ	18 07 07,1 14
28.III		Iles Andaman, USCGS: 11,8 ^o N, 94,8 ^o E, H=14 ^h 20 ^m 59,0 ^s , h normale mb=5,0 /USCGS/			KSP	$\Delta=74,4^{\circ}$. Traces eP	18 07 21
				29.III		Mer de Japon, USCGS: 41,2 ^o N, 137,6 ^o E, H=19 ^h 21 ^m 20,3 ^s , h= 289 km; mb=4,9 /USCGS/	

Date	Station	Phase	G.M.T. h m s	Date	Station	Phase	G.M.T. h m s
29.III	KRA	$\Delta = 74,2^\circ$		30.III		Iles Andreanov, USCGS: $51,2^\circ\text{N}$, $177,5^\circ\text{W}$, $H=11^{\text{h}}30^{\text{m}}38,9^{\text{s}}$, $h=20$ km; $mb=5,7$ /USCGS/	
/suite//SKM/		eiP	19 32 26		KRA	$\Delta = 78,3^\circ$	
		eipP	37	/SKM/	eP	11 42 32,2	
	NIE	$\Delta = 74,5^\circ$			iPoP	47	
		eiP	19 32 27,1		NIE	$\Delta = 78,9^\circ$	
		eipP	33 38		eiP	11 42 41,3 C	
	KSP	$\Delta = 75,0^\circ$			iPoP	52	
		iP	19 32 31,5		i	43 11	
30.III		Iles Ioniennes, BCIS: $38,5^\circ\text{N}$, $20,3^\circ\text{E}$, $H=00^{\text{h}}30^{\text{m}}11^{\text{s}}$; $MLH=4,1$ /Skopje/		30.III		Région frontière Grèce-Albanie, USCGS: $39,0^\circ\text{N}$, $20,6^\circ\text{E}$, $H=19^{\text{h}}40^{\text{m}}$ $11,5^{\text{s}}$, h normale; $mb=4,8$ /USCGS/	
	NIE	$\Delta = 10,2^\circ$			NIE	$\Delta = 10,1^\circ$	
		eiP	00 32 47,2		eiP	19 42 41,6	
		e	33 18		ei	43 06	
30.III		Région des Iles Fidji, USCGS: $17,8^\circ\text{S}$, $178,7^\circ\text{W}$, $H=02^{\text{h}}39^{\text{m}}41,3^{\text{s}}$, $h=630$ km; $mb=4,9$ /USCGS/			KRA	$\Delta = 10,8^\circ$	
	KSP	$\Delta = 144,9^\circ$		/SKD/	eL	19 46,1	
		ePKP ₁	02 58 10		Lm	52	
						E: 16^{s} ; $2,3\mu$	
					Lm	47 59	
						NEZ: 11^{s} ; $1,3\mu$, $1,2\mu$, $2,1\mu$	
30.III		N Sumatra, USCGS: $3,1^\circ\text{N}$, $96,3^\circ\text{E}$, $H=03^{\text{h}}36^{\text{m}}34,4^{\text{s}}$, $h=38$ km; $mb=5,1$ /USCGS/, $mpV=5,1$ /Niedzica/		30.III		Région des Iles Fidji, USCGS: $24,8^\circ\text{S}$, $176,0^\circ\text{W}$, $H=22^{\text{h}}39^{\text{m}}25,0^{\text{s}}$, h normale; $mb=5,0$ /USCGS/	
	NIE	$\Delta = 78,5^\circ$			NIE	$\Delta = 152,5^\circ$	
		iP	03 48 34,4 D		ePKP ₁	22 59 18	
		Z: $0,8^{\text{s}}$; $0,017\mu$			iPKP ₂	26	
		iPoP	42		ei	51	
	KRA	$\Delta = 78,8^\circ$			KRA	$\Delta = 152,1^\circ$	
/SKM/		eP	03 48 36	/SKM/	ePKP ₁	22 59 19	
		iPoP	43	/SKD/	eL	00 06,8	
	KSP	$\Delta = 81,3^\circ$. Traces		31.III			
		eP	03 48 48		NIE		
		i	56		eiP	00 02 36,8 Γ	
30.III		Iles Kouriles, USCGS: $43,7^\circ\text{N}$, $147,8^\circ\text{E}$, $H=03^{\text{h}}59^{\text{m}}59,5^{\text{s}}$, $h=42$ km; $mb=4,2$ /USCGS/		31.III		Birmanie, USCGS: $26,2^\circ\text{N}$, $96,6^\circ\text{E}$ $H=08^{\text{h}}16^{\text{m}}19,6^{\text{s}}$, $h=22$ km; $mb=5,0$ /USCGS/	
	NIE	$\Delta = 76,7^\circ$			KSP	$\Delta = 64,2^\circ$. Traces	
		eiP	04 11 47,4		eP	08 26 54	
		eipP	12 00	31.III		Mindanao, Philippines, USCGS: $9,0^\circ\text{N}$, $125,7^\circ\text{E}$, $H=09^{\text{h}}14^{\text{m}}03,9^{\text{s}}$	
	KSP	$\Delta = 76,8^\circ$					
		eP	04 11 49				
		epP	12 00				

Date	Station	Phase	G.M.T. h m s	Date	Station	Phase	G.M.T. h m s
31.III	/suite/ NIE	h=49 km; mb=5,1 /USCGS/ $\Delta = 93,1^{\circ}$ eP eiPcP	09 27 16 20	31.III	NIE	$\Delta = 155,4^{\circ}$ eiPKP ₁ ei	11 53 02,3 12
	KRA /SKD/	$\Delta = 93,2^{\circ}$, Traces \checkmark eL \checkmark Im NZ: 22 ^s ; 1,6 μ , 0,5 μ \checkmark Im EZ: 24 ^s ; 0,6 μ , 0,9 μ	10 03 06,4 09	31.III		Sinkiang, Chine, USCGS: 39,6 ^o N, 74,8 ^o E, H=20 ^h 00 ^m 31,5 ^s , h=38 km; mb=4,8 /USCGS/ NIE $\Delta = 39,3^{\circ}$ eiP	20 07 59,6 D
31.III		Mindanao, USCGS: 9,0 ^o N, 125,7 ^o E, H=10 ^h 23 ^m 57,3 ^s , h normale; mb=5,4 /USCGS/ KRA $\Delta = 93,2^{\circ}$ /SKM/ eP eiPcP NIE $\Delta = 93,1^{\circ}$ eP eiPcP	10 37 10 14 10 37 11 14	31.III		Iran, USCGS: 34,6 ^o N, 50,3 ^o E, H=21 ^h 50 ^m 10,3 ^s , h=31 km; mb=4,4 /USCGS/ KRA $\Delta = 26,9^{\circ}$ /SKM/ eiP ei NIE $\Delta = 26,4^{\circ}$ eP ei	21 55 49,7 54 21 55 52 56 14
31.III		Kermadec, USCGS: 29,1 ^o S, 177,5 ^o W H=11 ^h 33 ^m 14,1 ^s , h=67 km; mb=5,2 /USCGS/ KRA $\Delta = 155,4^{\circ}$ /SKM/ ePKP ₁ ei /SKD/ eL	11 53 00 10 12 54	31.III		Iles Bonin, USCGS: 26,9 ^o N, 142,3 ^o E, H=23 ^h 01 ^m 55,9 ^s , h=29 km; mb=4,9 /USCGS/ NIE $\Delta = 88,3^{\circ}$ eP e KSP $\Delta = 89,1^{\circ}$. Traces eP	23 14 47 56 23 14 50